

Министерство нефтяной промышленности
Всесоюзный научно-исследовательский институт по сбору,
подготовке и транспорту нефти и нефтепродуктов
(ВНИИСПТнефть)

РУКОВОДЯЩИЙ ДОКУМЕНТ
МЕТОДИКА
РАСЧЕТА И ОПТИМИЗАЦИИ БЛОЧНЫХ ТРУБЧАТЫХ
ПЕЧЕЙ ТИПА ПТВ С ПОМОЩЬЮ ЭВМ

РД 39-0147103-317-86

1986

Министерство нефтяной промышленности
Всесоюзный научно-исследовательский институт по сбору,
подготовке и транспорту нефти и нефтепродуктов
(ВНИИСПТнефть)

УТВЕРЖДЕН

Первым заместителем министра
нефтяной промышленности

В. Д. Фидановским

14 января 1986 года

Руководящий документ

М Е Т О Д И К А

РАСЧЕТА И ОПТИМИЗАЦИИ БЛОЧНЫХ ТРУБЧАТЫХ
ПЕЧЕЙ ТИПА ПТБ С ПОМОЩЬЮ ЗВМ

РД 39-0147103-317-86

1986

Настоящая "Методика расчета и оптимизации блочных трубчатых печей типа ПТБ с помощью ЭВМ" разработана в дополнение к действующим методикам расчета трубчатых печей и предназначена для использования при проектировании новых объектов, а также при эксплуатации и модернизации действующих установок подготовки нефти.

Математическое описание алгоритма и программы охватывает тепловой, гидродинамический, аэродинамический и экономический расчеты печи.

Оптимизация и выбор рационального варианта осуществляется с помощью экономического расчета. За критерий оптимальности приняты годовые приведенные затраты, которые характеризуют режимные и технологические показатели работы печи.

Экономический эффект от внедрения данного руководящего документа только в расчете на действующие объекты составит 0,5 млн. руб./год.

Методика разработана с.н.с. Клименко В.В., с.н.с. Чуриным В.Н., ст.инж.Муравьевой Р.Ф., ст.инж. прогр.Валеуканиной Л.С.

РУКОВОДЯЩИЙ ДОКУМЕНТ

МЕТОДИКА РАСЧЕТА И ОПТИМИЗАЦИИ БЛОЧНЫХ ТРУБЧАТЫХ ПЕЧЕЙ ТИПА ПТБ С ПОМОЩЬЮ ЭВМ

РД 39-0147I03-317-86

Вводится впервые

Срок введения установлен с 01.02.1986 г.

Срок действия до 01.01.1989 г.

Настоящий руководящий документ предназначен для предприятий организаций Министерства нефтяной промышленности с целью оптимизации работы блочных трубчатых печей типа ПТБ как при проектировании новых объектов сбора, подготовки и транспорта нефти, так и при эксплуатации и модернизации действующих объектов.

I. ОСНОВНАЯ ЦЕЛЬ РАЗРАБОТКИ РУКОВОДЯЩЕГО ДОКУМЕНТА

В последние годы потребность в нагревательном оборудовании на промыслах в основном покрывается за счет блочных трубчатых печей типа ПТБ. Указанные печи отличаются от других видов нагревателей блочной конструкцией, использованием циклонной топки с воздухонагревателем, воздуходувкой и камерой, в которой завершается процесс сгорания газообразного топлива. Раскаленные инертные газы - азот и продукты сгорания - с высокой скоростью поступают в теплоизолированную теплообменную камеру, оснащенную четырехрядным змеевиком из оребренных труб. Конструкция печи предусматривает рециркуляцию инертных газов, имеющих относительно невысокую температуру, что обеспечивает надежную и безопасную эксплуа-

тацию печи при высокой удельной тепловой мощности. Серийно выпускаются блочные трубчатые печи ПТБ-10/64, ПТБ-10/160, ПТБ-6,3. Данные печи обладают хорошими теплотехническими и технологическими характеристиками (удельная тепловая мощность, интенсивность процесса горения и теплообмена, компактность, полная автоматизация и относительно высокий коэффициент полезного действия). Конструкция печи позволяет путем несложной переобвязки осуществлять нагрев сырья по четырех, двух или однопоточной схеме. Это открывает широкие возможности по оптимальному использованию печи в различных конкретных условиях (производительность установки, физико-химические свойства сырья, особенности топливного газа и т.д.).

Однако, как показывает опыт, неправильная эксплуатация печей, несоблюдение технологических требований к режиму их работы приводят к перерасходу топлива и электроэнергии, а также к преждевременному выходу из строя основных дорогостоящих элементов: оребрения труб змеевика, самого змеевика труб, автоматики, камер сгорания и др.

Это объясняется отсутствием обоснованных рекомендаций и технологических регламентов эксплуатации печей применительно к условиям различных месторождений.

В основу методики расчета и оптимизации работы блочных трубчатых печей типа ПТБ-10 положены разработанные алгоритм и программа расчета и оптимизация работы печи, выполняемые на ЭВМ типа ВС. По выходным параметрам расчета принимаются решения по оптимизации работы печи с учетом предлагаемой методики.

2. МЕТОДИКА РАСЧЕТА И ОПТИМИЗАЦИИ БЛОЧНЫХ ТРУБЧАТЫХ ПЕЧЕЙ ТИПА ПТБ

Руководящий документ представляет собой методику, изложенную в виде алгоритма, составленного с помощью алгоритмического языка. Алгоритм (приложение I) создан на основе имеющихся нормативных методических пособий по расчету нефтезаводских печей и нефтепромысловых нагревательных аппаратов.

2.1. Методическое построение алгоритма

За методическую основу построения алгоритма приняты следующие нормативные документы:

Нормативная методика теплового расчета трубчатых печей.
РТМ 26-02-40-77, М., ВНИИнефтехим, 1977.

Тепловой расчет котельных агрегатов. Нормативный метод.
М., Энергия, 1973.

Методические указания к курсу "Расчеты трубчатых печей"
М., ЦНИИГЭнефтехим, 1975.

Аэродинамический расчет котельных установок. Нормативный метод. М., Энергия, 1964.

Методические указания по расчетам теплообмена в нагревателях нефтяных эмульсий. РД 36-1-1073-84. Уфа, ВНИИСГиНефть, 1984.

Методика определения экономической эффективности использования в народном хозяйстве новой техники, изобретений и рационализаторских предложений. № 48/16/13/13. М., ЦНИИГЭиЗи, 1978.

Математическое обеспечение ЕС-ЭВМ, выпуск 14, Минск. Институт математики АН БССР, 1974.

ЕС ЭВМ ОС Программы обслуживания наборов данных. М., 1981.

Сервисные процедуры ОС ЕС Пермь, НИИСУМС, 1980.

Алгоритм разработан на основе системного подхода. Системное построение алгоритма осуществлялось на двух уровнях: структурном

и модульном. В алгоритме выделены общие и специфические модули, которые распределены на иерархические уровни с учетом степени общности расчетов и их взаимосвязи. Обеспечена автономность модулей.

Алгоритм включает в себя следующие основные расчетные модули: тепловой, гидродинамический, аэродинамический и экономический.

Тепловой расчет состоит из 11 расчетных блок-схем, укрупненных в 4 основные. При этом проводится расчет процесса горения (БС-ПГ) для определения теплофизических свойств дымовых газов. При отсутствии в исходных данных заданного количества топлива, последнее рассчитывается в блок-схеме БС-В.

Расчет процесса горения топлива (БС-ПГ) служит для определения количества расходуемого в сжигаемого воздуха, количества и состава образующихся продуктов горения и для определения теплофизических свойств дымовых газов. Эти расчеты выполняются по заданным элементарного состава топлива на основе уравнений горения.

В процессе расчета воздуходогревателя (БС-ВД) определяется максимальная температура горения топлива (t_{\max}) и температура стенки камеры сгорания ($t_{ст}$). В случае превышения $t_{ст}$ предельного значения, увеличивается расход воздуха и проводится пересчет температуры стенки камеры сгорания.

Блок-схема расчета тепла, передаваемого в теплообменной камере (БС-9), включает в себя расчет коэффициентов теплоотдачи как со стороны дымовых газов, так и со стороны продуктов нагрева. Для расчета передачи тепла конвекцией используется уравнение Ньютона $Q = \lambda \cdot (t_{ст} - t_{н}) \cdot F$. Коэффициент теплоотдачи при свободной или вынужденной конвекции определяется с помощью критерия Яобиля Re , Pr , Nu , которые позволяют представить расчетные выражения в компактной и достаточно общей форме.

При расчете радиантной секции печи необходимо определить количество переданного в радиантной секции тепла Q_A , темпера-

туру уходящих дымовых газов $t_{ух}$. При этом используется метод Н.И.Белоконя, который базируется на совместном решении уравнений теплового баланса и теплопередачи. Количество тепла, переданное трубам радиацией Q_A , определяется законом Стефана-Больцмана, в котором за температуру излучающей поверхности принята температура уходящих газов на перевале, а тепло воспринимается эквивалентной абсолютно черной поверхностью величиной H_s , т.е.

$$Q_A = C_s \cdot H_s \cdot \left[\left(\frac{T_p}{100} \right)^4 - \left(\frac{\theta}{100} \right)^4 \right]$$

В основу расчета температур стенок труб теплообменной камеры ($t_{стт}$) положен закон Фурье. При превышении температуры стенок труб предельного значения снижается расход количества топлива и проводится пересчет ($t_{стт}$). Заканчивается тепловой расчет определением полезного количества тепла, передаваемого в печь.

Гидродинамический расчет печи позволяет рассчитать гидродинамику потока нагреваемого продукта в трубах змеевика. При этом определяются:

- скорость эмульсии в трубах;
- гидродинамический критерий;
- потеря напора.

Аэродинамический расчет позволяет определить следующие характеристики теплообменной камеры и дымоходов:

- скорость продуктов сгорания в различных сечениях;
- аэродинамические критерии;
- потеря напора.

С помощью экономического расчета определяются:

- капитальные вложения;
- эксплуатационные расходы;
- приведенные затраты.

Нереальность рассчитанного варианта определяется путем сравнения величины падения давления в трубах с максимально развивающим давлением насоса установленного перед печью.

Выбор оптимального варианта обеспечивается путем сравнения рассчитанных вариантов на основе экономических показателей. За критерий оптимальности приняты годовые приведенные затраты.

На основе разработанного алгоритма составлена программа.

2.2. Описание программы

Программа RASPECH состоит из головной программы и внешних подпрограмм: РС, В, ТМАХ, АКД, АВ, АЛКС, АВР, АЛ2, ТР, АЛК, ALL, АТР, ГР, НТР, ННОН, НМ, ИР.

Перечисленные выше подпрограммы соответствуют соответствующим блок-схемам алгоритма.

Головная программа RASPECH производит ввод переменных исходных данных, которые описаны в таблицах I+4 И.Д. и постоянных величин, описанных в таблицах I+I4 Пр. (см.приложение I). В программе RASPECH для каждого m_x (число ходов по трубам змеевика) производится обращение к перечисленным выше подпрограммам с помощью оператора CALL.

2.3. Технические сведения о программе

Программа написана на алгоритмическом языке РЛ/І , предназначена для выполнения на ЭВМ ЕС-1022 под управлением версии 6.І ОС ЕС.

Время трансляции программы - 16 мин.

Время счета возможных вариантов с выбором оптимального-1 мин.

Для выполнения программы используются следующие устройства:

- устройство ввода с перфокарт (ЕС-6012);

- АЦПУ (ЕС-7032);
- дисплей (РИН-609);
- накопители на магнитных дисках (ЕС-5052).

2.4. Входная информация

Переменные исходные данные приведены в таблицах I+4 И.Д. (приложение I), вводятся непосредственно с перфокарт при выполнении программы.

Постоянные исходные данные приведены в таблицах I+I4 Пр. (приложение I). Перед выполнением программы *RASPER* для удобства ее эксплуатации, данные таблиц I+I4 Пр записаны на магнитный диск в последовательный набор данных *ДАН* программой

Для визуального контроля за правильностью ввода исходной информации, последние выводятся на АЦПУ программой

2.5. Результаты расчета

Руководящий документ позволяет оперативно производить следующие расчеты:

1. Определить наибольшую тепловую мощность печи при реальных параметрах нагреваемой среды, что является важнейшим показателем при проектировании объектов добычи, сбора, подготовки и транспорта нефти.

2. Расход топлива и КПД печи.

3. Температуру стенки трубы и стены камеры сгорания.

4. Наличие отложений солей на поверхности трубы с целью определения момента саботажа печи для ремонта, очистки или замены змеевика.

5. Потери давления продукта в трубах.

6. Температуру дымовых газов в узлах камеры сгорания и ухо-

для них дымовых газов.

7. Годовые приведенные затраты на эксплуатацию печи по трем вариантам - с обвязкой змеевика в один, два или четыре потока.

Применение РД позволяет производить поверочные расчеты при проектировании привязки печей, при корректировании технологических показателей установки и своевременно производить изменение схемы обвязки печи или ее змеевиков, переходить на работу с 1 или 2-мя вентиляторами, своевременно производить ремонт или очистку печей от отложений.

Программа отлажена и апробирована на примере работы печей ИТБ-10 Ижевского НГДУ ПО "Удмуртнефть". Были получены оптимальные значения технологических параметров работы печей. В частности, годовые приведенные затраты при 2-х поточной схеме обвязки печи меньше, чем при 4-х поточной схеме, на 10,1 тыс.руб/год.

Техдокументация по эксплуатации программы имеется в НЦ ВНИИСПТнефть и высылается по запросу пользователей.

ПРИЛОЖЕНИЕ I

Алгоритм расчета и оптимизация
блочных трубчатых печей ПТБ-10

ИСХОДНЫЕ ДАННЫЕ

Таблица 1 И.Д.

Состав топливного газа

(заполняется одна из строк: либо %, либо г.)

Доля	Компоненты газообразного топлива											
	CH ₄	C ₂ H ₆	C ₃ H ₈	C ₄ H ₁₀	C ₅ H ₁₂	C ₆ H ₁₄	N ₂	CO ₂	H ₂	O ₂	CO	H ₂
%												
% об.												
г.												
% мас.												

Таблица 2 И.Д.

Технологические величины

№ п/п	Обозначение	Наименование	Размер-		Примечание
			ность	ное зна-	
1	2	3	4	5	6
1	6,	Расход эмульсии	кг/ч		
2	t _{вх}	Температура эмульсии на входе в печь	°C		
3.	t _{вых}	Температура эмульсии на выходе из печи	°C		
4	т _н	Температура окружающего воздуха	°C		
5	0 ₂	Обводненность эмульсии	доля ед.		
6.	δt	Изменение температуры уходящих дымовых газов	°C		

Таблица 3 И.Д.

Теплофизические свойства нагреваемой среды

№ п/п	Обозна- чение	Наименование	Размер- ность	Принимае- мое значе- ние	Примечание
I.	ρ_b	плотность пластовой воды	кг/м ³		
2.	ρ_n	плотность нефти	"		
3.	C_{pb}	теплоемкость пласто- вой воды	<u>ккал</u> кг.гр		
4.	C_{pn}	теплоемкость нефти	"		
5.	λ_b	теплопроводность пла- стой воды	<u>ккал</u> м·ч .гр		
6.	λ_n	теплопроводность нефти	"		
7.	η_z	вязкость кинемати- ческая эмульсии	m^2/c		
8.	ρ_n^{20}	плотность нефти при $t = 20^{\circ}C$	кг/м ³		
9.	t_1	температура	$^{\circ}C$		
10.	t_2	температура	$^{\circ}C$		
II.	η_1	вязкость нефти при t_1	сст		
12.	η_2	вязкость нефти при t_2	сст		
13.	d_n^{15}	относит. плотность нефти при $15^{\circ}C$	-		

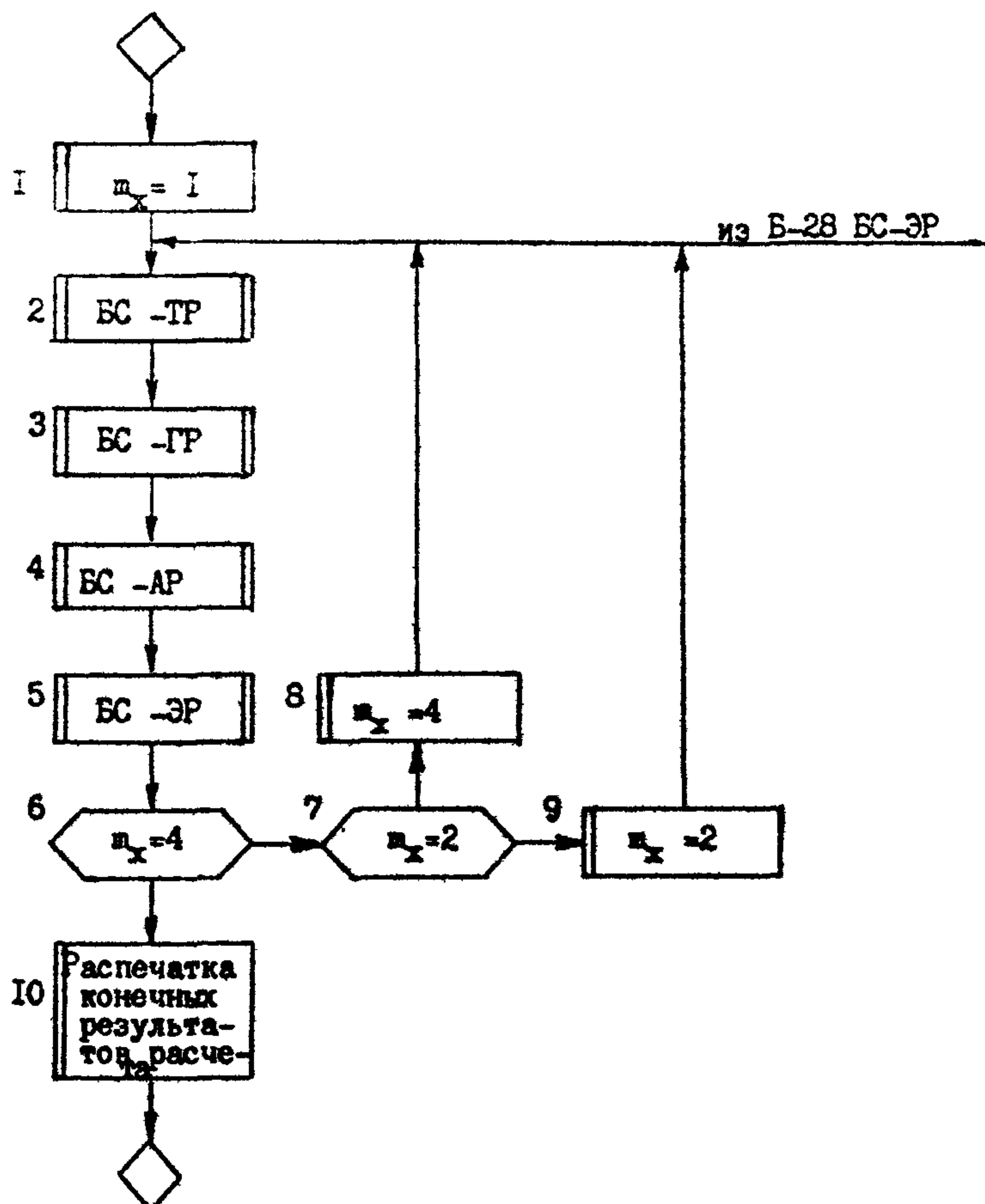
ПРОЧИЕ ИСХОДНЫЕ ДАННЫЕ

Таблица 4 И.Д.

№/п!	Обозначение	Наименование	Размер- ность	Принимаемое значение	Примечание
I.	Δ	Абсолютная шероховатость теплообменных труб	м	-	
2.	φ	Относительная влажность воздуха	-	-	
3.	T	Фактическое время работы печи в году	час	-	
4.	P	Максимально развивающее давление насоса	кг/м ²	-	
5.	P_0	Давление после печи	-"	-	
6.	n_h	Количество нагнетательных насосов перед печью	шт.	-	
7.	$n_{эл}$	Количество электродвигателей (компрессоров)	шт.	-	
8.	$K_{эл}$	Коэффициент использования компрессоров в году	-	-	
9.	$\Pi_{от}$	Признак склонности пластовых вод к отложению солей на поверхностях нагрева Принимаемые значения: несклонные - 0 склонные - I	-	-	
10.	$\delta_{от}$	Толщина отложений на поверхностях нагрева	м	-	
11.	$\lambda_{от}$	Коэффициент теплопроводности отложений	<u>ккал</u> <u>м·ч·гр</u>	-	
12.	v	Количество газообразного топлива	кг/ч	V	Величина V задается только в случае ограниченности газообразного топлива.

БС- РП

Расчет печи



Приложение к БС-РП

Б-1. Принять: число потоков змеевика:

$$m_x = 1$$

Б-2. Обращение к БС-ТР (тепловой расчет)

Б-3. Обращение к БС-ГР (гидравлический расчет)

Б-4. Обращение к БС-АР (аэродинамический расчет)

Б-5. Обращение к БС-ЭР (экономический расчет)

Б-6. Проверка: $m_x = 4$,

где m_x из Б-1 или Б-8,9

Б-7. Проверка: $m_x = 2$,

где m_x из Б-1 или из Б-8,9

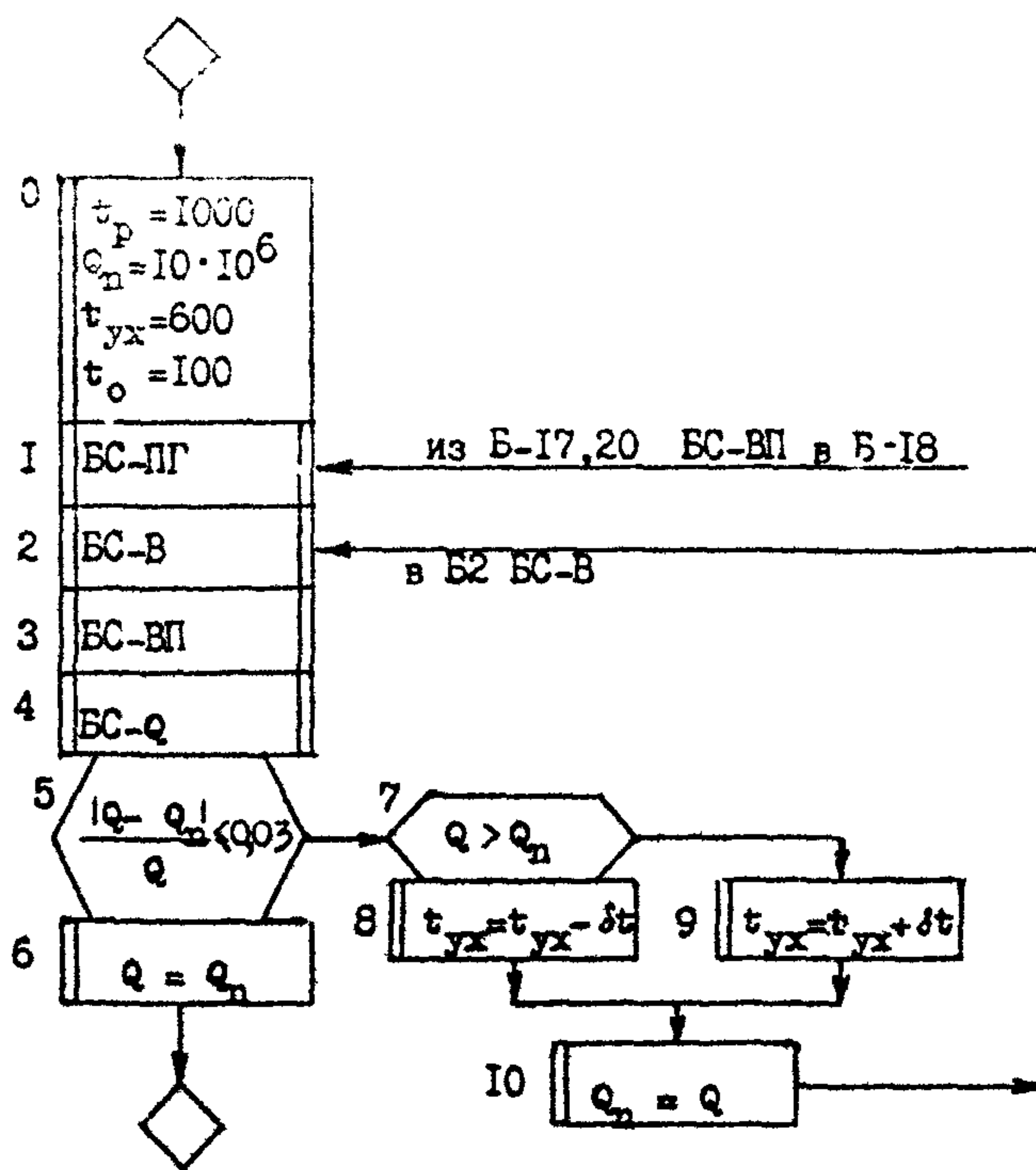
Б-8. Принять: $m_x = 4$

Б-9. Принять: $m_x = 2$

Б-10. Распечатка результатов расчета. Результаты должны быть выданы при $m_x = 1,2,4$.

БС - ТР

Тепловой расчет печи



Приложение к БС-ТР

Б-0 Принять $t_0 = 100^{\circ}\text{C}$
 $t_{yx} = 600^{\circ}\text{C}$
 $t_p = 1000^{\circ}\text{C}$

Б-1 Обращение к БС-ПГ

Б-2 Обращение к БС-В

Б-3 Обращение к БС-ВП

Б-4 Обращение к БС- Q

Б-5 Проверка $\frac{|Q - Q_p|}{Q} \leq 0,03,$

где Q из Б-5 БС- Q,

Q_p из Б-0 или Б-10

Б-6 Принять $Q = Q_p$

Б-7 Проверка $Q > Q_p$

Б-8 Принять $t_{yx} = t_{yx} - \delta t,$

где t_{yx} из Б-0 или Б-8,9

δt из Т2ИД

Б-9 Принять $t_{yx} = t_{yx} + \delta t,$

где t_{yx} из Б-0 или Б-8,9

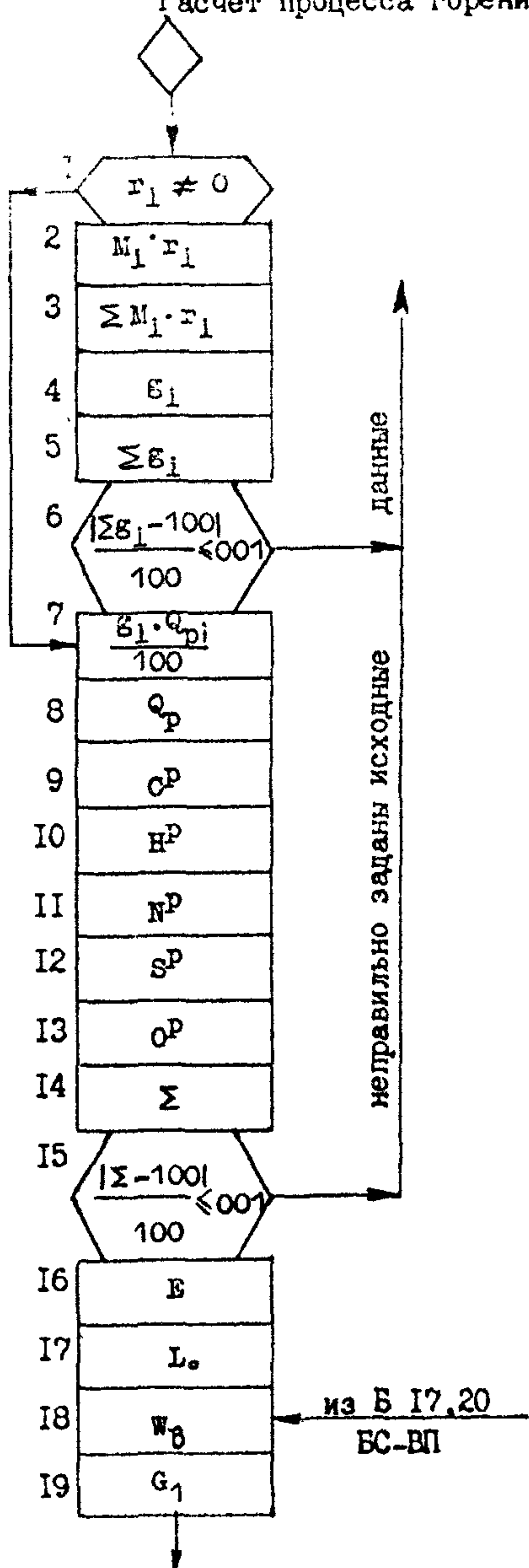
δt из Т2ИД

Б-10 Принять $Q_p = Q,$

где Q из Б-5 БС- Q

БС-ПГ

Расчет процесса горения



20	G _{Bn}
21	G _{cr}
22	v _p
23	v _N
24	x
25	O ₂
26	N ₂
27	RO ₂
28	ρ _{cr}
29	M _{cr}
30	m
31	M
32	ρ _o
33	P _{H₂O}
34	P _{RO₂}
35	C _{p_{cr}}
36	C _p
37	C _{p_m}
38	j
39	λ
40	z

Приложение к БС-ПГ

Б-1. Проверка $\gamma_i \neq 0$ (состав топлива задан в весовых или объемных единицах),

где γ_i из ТИ И.Д.

Б-2 Произведение молекулярного веса отдельных газообразных компонентов на их объемное содержание

$$M_i \cdot \gamma_i,$$

где M_i из ТИ Пр

γ_i из ТИ И.Д.

Б-3 Сумма $\sum M_i \cdot \gamma_i$, где $M_i \cdot \gamma_i$ из Б-2

Б-4 Массовое содержание отдельных газообразных компонентов:

$$g_i = \frac{M_i \cdot \gamma_i}{\sum M_i \cdot \gamma_i} \cdot 100,$$

где $M_i \cdot \gamma_i$ из Б-2

$\sum M_i \cdot \gamma_i$ из Б-3

Б-5 Сумма $\sum g_i$, где g_i из Б-4

Б-6 Проверка $\frac{|\sum g_i - 100|}{100} \leq 0,01$,

где $\sum g_i$ из Б-5

Б-7 Произведение $\frac{g_i \cdot Q_{pi}^n}{100}$,

где g_i из Б-4

Q_{pi}^n из ТИ Пр

Б-8 Низшая теплотворная способность топлива

$$Q_p^n = \sum \frac{g_i \cdot Q_{pi}^n}{100},$$

где g_i из Б-4,

Q_{pi}^n из ТИ Пр.

Б-9 Рабочее количество углерода в топливе

$$C_p = 12,01 \sum \frac{g_i \cdot m_i}{M_i},$$

где g_i из Б-4 или ТИ И.Д.

m_i из ТИ Пр

M_i из ТИ Пр.

Б-10 Рабочее количество водорода в топливе,

$$H^P = 1,008 \sum \frac{q_i \cdot n_i}{M_i},$$

где n_i из Т1 Пр.

Б-11 Рабочее количество азота в топливе,

$$N^P = 14,01 \sum \frac{q_i \cdot s_i}{M_i},$$

где s_i из Т1 Пр.

Б-12 Рабочее количество серы в топливе,

$$S_A^P = 32,06 \sum \frac{q_i \cdot p_i}{M_i},$$

где p_i из Т1 Пр.

Б-13 Рабочее количество кислорода в топливе,

$$O^P = 16,00 \sum \frac{q_i \cdot q_i}{M_i},$$

где q_i из Т1 Пр.

Б-14 Сумма рабочих количеств компонентов в топливе,

$$\Sigma = C^P + H^P + N^P + S_A^P + O^P,$$

где $C^P, H^P, N^P, S_A^P, O^P$ из Б-9-13

Б-15 Проверка $\frac{|\Sigma - 100|}{100} \leq 0,01$,

где Σ из Б-14.

Б-16 Характеристика элементарного состава рабочего топлива:

$$E = 2,98 \frac{H^P - 0,126 \cdot O^P}{C^P + 0,375 \cdot S_A^P},$$

C^P, H^P, S_A^P, O^P из Б-9,10,12,13.

Б-17 Расход воздуха на 1 кг топлива,

$$L_0 = 0,1154 (I+E) \cdot (C^P + 0,375 \cdot S_A^P),$$

где E из Б-16

C^P из Б-9

S_A^P из Б-12

Б-18. Содержание водяных паров в атмосфере воздуха:

$$w_b = \varphi \cdot \delta_s \cdot \alpha \cdot L_o ,$$

где φ - относит. влажность воздуха из Т4 И.Д.

δ_s - из Т6 Пр при t_n из Т2 И.Д.

α - из Т7 Пр или из Б-17,20 БС-ВП.

L_o - Б-17.

Б-19. Количество газообразных продуктов сгорания:

$$G_1 = 1 + \alpha \cdot L_o + w_b ,$$

где α из Т7 Пр или Б-17,20 БС-ВП.

L_o из Б-17

w_b из Б-18.

Б-20. Содержание ^{водяных} паров в продуктах сгорания:

$$\bar{G}_n = \frac{8.94 \cdot H^P + W^P}{100} + w_b ,$$

где H^P из Б-10

W^P из Т7 Пр.

w_b из Б-18.

Б-21. Количество сухих газов

$$G_{cr} = G_1 - G_{in} ,$$

где G_1 из Б-19

G_{in} из Б-20

Б-22. Характеристика рабочей массы топлива:

$$\gamma^P = \frac{G_{cr} - \alpha L_o}{L_o} ,$$

где G_{cr} из Б-21

α из Т7 Пр или из Б-17,20 БС-ВП

L_o из Б-17.

Б-23. Характеристика содержания азота в топливе:

$$\gamma^N = \frac{0.013 \cdot N^P}{L_o} ,$$

где N^P из Б-11

L_o из Б-17.

Б-24. Относительное изменение мольного состава сухих газов продуктов сгорания:

$$x = \frac{0,209E}{I + E} - 0,791 \cdot \bar{V}^N ,$$

где E из Б-16

\bar{V}^N из Б-23

Б-25. Содержание кислорода в продуктах сгорания,

$$O_2 = 20,9 \frac{\alpha - 1}{\alpha - x} ,$$

где α из Т7 Пр или Б-17,20 ЕС-ВП

x из Б-24.

Б-26. Содержание азота в продуктах сгорания

$$N_2 = 79,1 \frac{\alpha - \bar{V}^N}{\alpha - x} ,$$

где α из Т7 Пр или Б-17,20 ЕС-ВП

\bar{V}^N из Б-23

x из Б-24.

Б-27. Содержание трехатомных газов в продуктах сгорания:

$$RO_2 = \frac{20,9}{(\alpha - x)(I + E)} ,$$

где α из Т7 Пр или Б-17,20 ЕС-ВП

x из Б-24

E из Б-16.

Б-28. Плотность сухих газов:

$$\rho_{cr} = 1,293 \frac{\alpha + \bar{V}'}{\alpha - x} ,$$

где α из Т7 Пр или Б-17,20 ЕС-ВП

\bar{V}' из Б-22

x из Б-24.

Б-29. Молекулярный вес сухих газов:

$$M_{cr} = 28,96 \frac{\alpha + \bar{V}'}{\alpha + x} ,$$

где α из Т7 Пр или Б-17,20 ЕС-ВП.

Б-30. Величина m :

$$m = \frac{M_{\text{сг}}}{M_{\text{вл}}} - I, \quad \text{где } M_{\text{сг}} \text{ из Б-29} \\ M_{\text{вл}} = 18.$$

Б-31. Молекулярный вес продуктов сгорания:

$$M = \frac{M_{\text{сг}}}{1 + m \frac{G_{\text{вл}}}{G_1}}, \quad \text{где } M_{\text{сг}} \text{ из Б-29} \\ m \text{ из Б-30} \\ G_{\text{вл}} \text{ из Б-20} \\ G_1 \text{ из Б-19}$$

Б-32. Плотность газообразных продуктов сгорания:

$$\rho_e = \frac{M}{22,4207}, \quad \text{где } M \text{ из Б-31}$$

Б-33. Парциальное давление водяных паров,

$$P_{H_2O} = \frac{M}{M_{\text{вл}}} \cdot \frac{G_{\text{вл}}}{G_1} \cdot P_e,$$

где M из Б-31
 $M_{\text{вл}} = 18$
 $G_{\text{вл}}$ из Б-20
 G_1 из Б-19
 P_e из Т7 Пр

Б-34. Парциальное давление трех-атомных сухих газов:

$$P_{CO_2} = (P_e - P_{H_2O}) \cdot \frac{R_{CO_2}}{100} \cdot P_e,$$

где P_e из Т7 Пр
 P_{H_2O} из Б-33
 R_{CO_2} из Б-27

Б-35. Теплоемкость сухих газов,

$$C_p^{\text{ср}} = C_p^b + \frac{\Delta C_p^{\text{ср}} \cdot 10^{-4}}{\lambda + \gamma^p},$$

где C_p^b из Т2 Пр
 $\Delta C_p^{\text{ср}}$ из Т3 Пр
 λ из Т7 Пр или Б-17,20 БС-ВП
 γ^p из Б-22

Б-36. Истинная теплоемкость продуктов сгорания:

$$\text{где } C_p^{\text{ср}} \text{ из Б-35} \quad C_p = C_p^{\text{ср}} + \frac{G_{\text{вл}}}{G_1} (C_p^{b\prime} - C_p^{\text{ср}}), \\ G_{\text{вл}} \text{ из Б-20} \\ G_1 \text{ из Б-19} \\ C_p^{b\prime} \text{ из Т2 Пр.}$$

Б-37. Средняя теплоемкость газообразных продуктов сгорания,

$$C_{Pm}(t) = C_p f\left(\frac{t}{2}\right),$$

где C_p из Б-36.

Б-38. Энталпия продуктов сгорания

1 кг топлива,

$$\mathcal{J} = G_1 \cdot C_{Pm} \cdot t,$$

где G_1 из Б-19

C_{Pm} из Б-37.

Б-39. Теплопроводность продуктов сгорания ,

$$\lambda = \lambda_r \cdot \xi_d \cdot 10^{-4},$$

где λ_r из Т3 Пр

ξ_d из Т8 Пр

Б-40. Абсолютная вязкость продуктов сгорания,

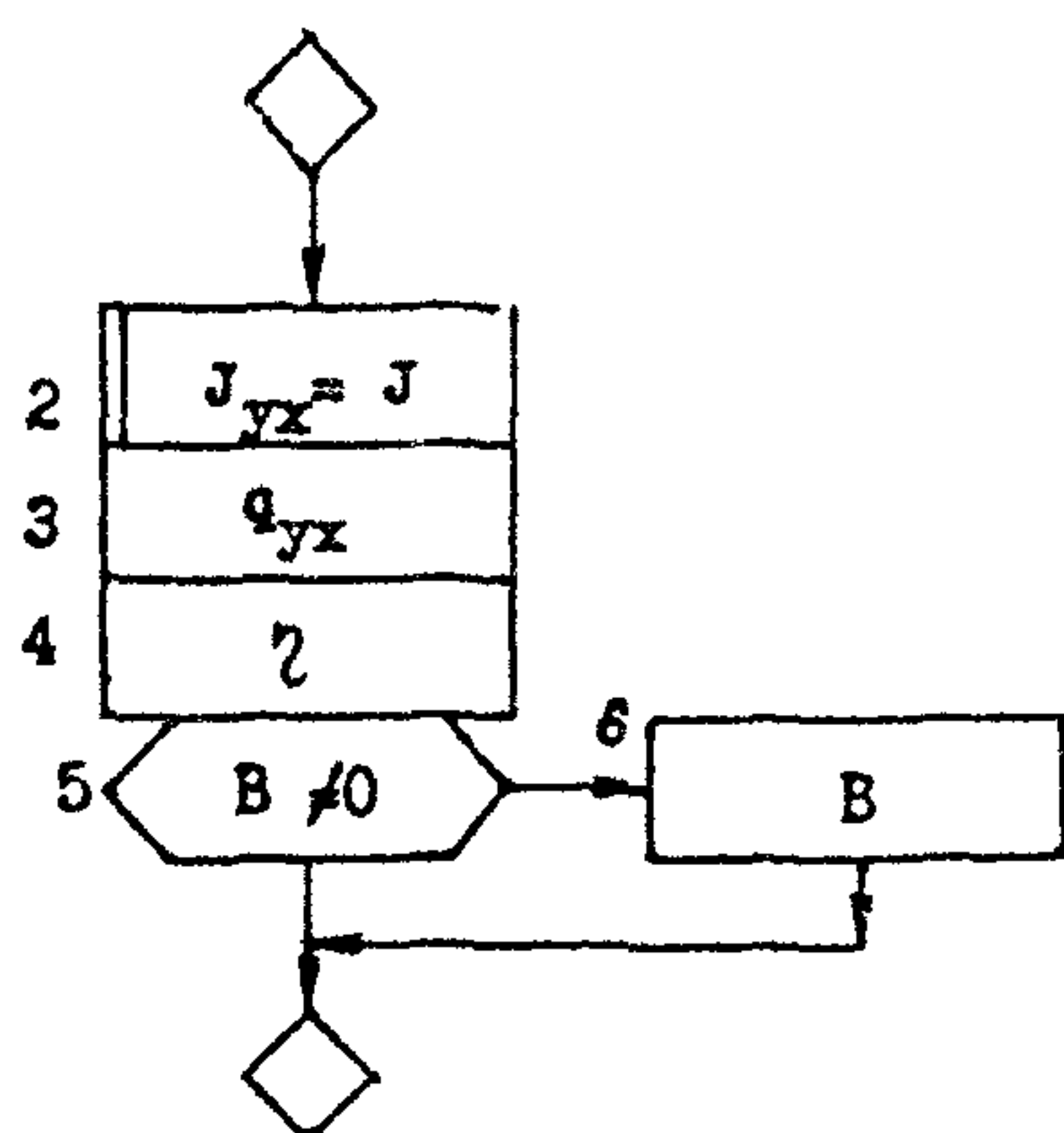
$$\dot{\gamma} = \dot{\gamma}_r \cdot \xi_z \cdot 10^{-6},$$

где $\dot{\gamma}_r$ из Т3 Пр

ξ_z из Т9 Пр

БС -В

Расчет количества топлива



БС-В

Расчет количества топлива

Б-2 Энталпия дымовых газов при t_{yx} $J_{yx} = J_*$.

где J из б-38 БС-ЛГ при

t_{yx} из Б-0 БС-ТР или Т-8,9 БС-ТР

Б-3 Потери тепла с уходящими дымовыми газами

$$q_{yx} = -\frac{J_{yx}}{Q_p^n},$$

где J_{yx} из Б-2

Q_p^n из Б-8 БС-ЛГ

Б-4 Коэффициент полезного действия печи

$$\eta = 1 - q_{yx} - q_{пот},$$

где q_{yx} из Б-3

$q_{пот}$ из Т7 Пр

Б-5 Проверка: В/О,

где V из Т4 И.Д.

Б-6. Расход топлива

$$V = \frac{Q_p}{\eta \cdot Q_p^n},$$

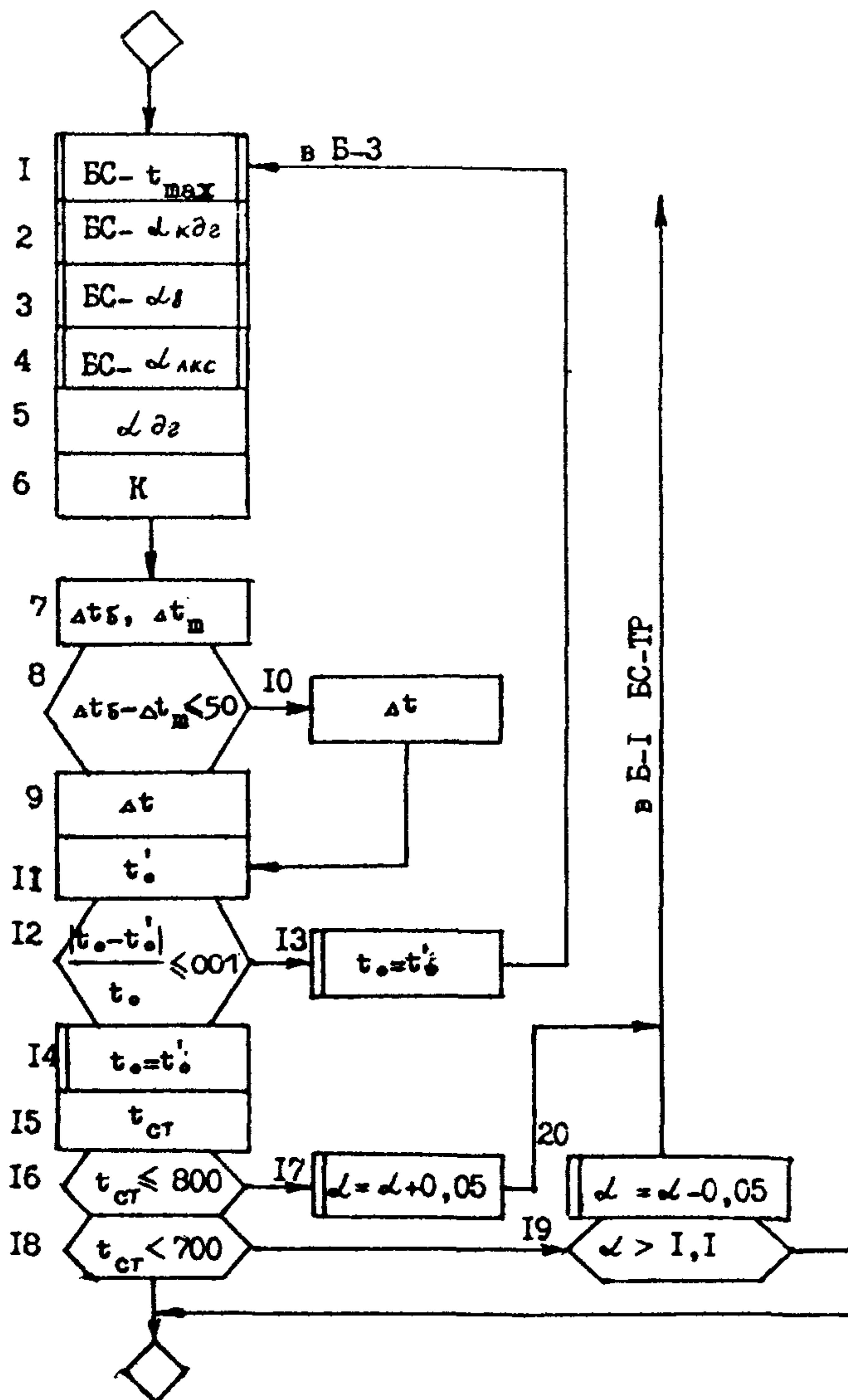
где Q_p из Т7 Пр

η из Б-4

Q_p^n из Б-8 БС-ЛГ.

БС-ВП

Расчет воздухоподогревателя



Приложение к БС-ВП

Расчет воздухоподогревателя

Б-1 Обращение к БС- t_{max}

Б-2 Обращение к БС- α_{kdg}

Б-3 Обращение к БС- α_{lks}

Б-4 Обращение к БС- α_s

Б-5 Коэффициент теплоотдачи со стороны дымовых газов

$$\alpha_{dgr} = \alpha_{kdg} + \alpha_{lks},$$

где α_{kdg} из Б-6, БС- α_{kdg}

α_{lks} из Б-10 БС- α_{lks}

Б-6 Коэффициент теплопередачи

$$K = \frac{I}{\frac{1}{\alpha_{dgr}} + \frac{1}{\alpha_s} + \frac{\delta_{ks}}{\lambda_{st}}},$$

где α_{dgr} из Б-4

α_s из Б-9 БС- α_s

δ_{ks} из Т5 Пр

λ_{st} из Т7 Пр

Б-7 Принять $\Delta t_d = t_{max} - t_n$

$$\Delta t_m = t'_{max} - t_o$$

где t_{max} из Б-10 БС- t_{max}

t'_{max} из Б-11 БС- t_{max}

t_n из Т2 И.Д.

t_o из Б-2 БС- t_{max} или Б-13, 14.

Б-8 Проверка $\Delta t_d - \Delta t_m \leq 50$,

где $\Delta t_d, \Delta t_m$ из Б-7.

Б-9 Среднеарифметический температурный напор:

$$\Delta t = \frac{\Delta t_d + \Delta t_m}{2},$$

где $\Delta t_d, \Delta t_m$ из Б-7.

Б-10 Среднелогарифмический температурный напор:

$$\Delta t = \frac{\Delta t_g - \Delta t_m}{2,3 \lg \frac{\Delta t_g}{\Delta t_m}},$$

где $\Delta t_g, \Delta t_m$ из Б-7

Б-11. Уточненная температура воздуха на горение,

$$t_e' = \frac{4 \kappa F \Delta t}{B L_{c_p} C_p} + t_n,$$

где κ из Б-6; F из Т5 Пр

Δt из Б-9,10

B из Б-5 БС-В

L из Т7 Пр или из Б-17,20

C_p из Т2 Пр при t_{cp}' из Б-3 БС- t_{max}

Б-12. Проверка $\frac{|t_e - t_e'|}{t_e} < 0,01$,

где t_e из Б-2 БС- t_{max} или Б-13,14

Б-13,14. Принять $t_e = t_e'$.

где t_e' из Б-11.

Б-15. Температура стенки камеры сгорания:

$$t_{cr} = t_{cp} k_s - \frac{\kappa (t_{cp} k_s - t_{cp})}{L_{gr}}$$

где $t_{cp} k_s$ из Б-3 БС- L_{kg}

k_s из Б-6

t_{cp} из Б-3 БС- t_{max}

L_{kg} из Б-5

Б-16. Проверка $t_{cr} < 800$,

где t_{cr} из Б-15.

Б-17. Принять $\omega = \alpha + 0,05$,

где α из Т7 Пр или Б-17,20

Б-18. Проверка $t_{cr} < 700$

где t_{cr} из Б-15.

Б-19. Проверка $\omega > 1,1$

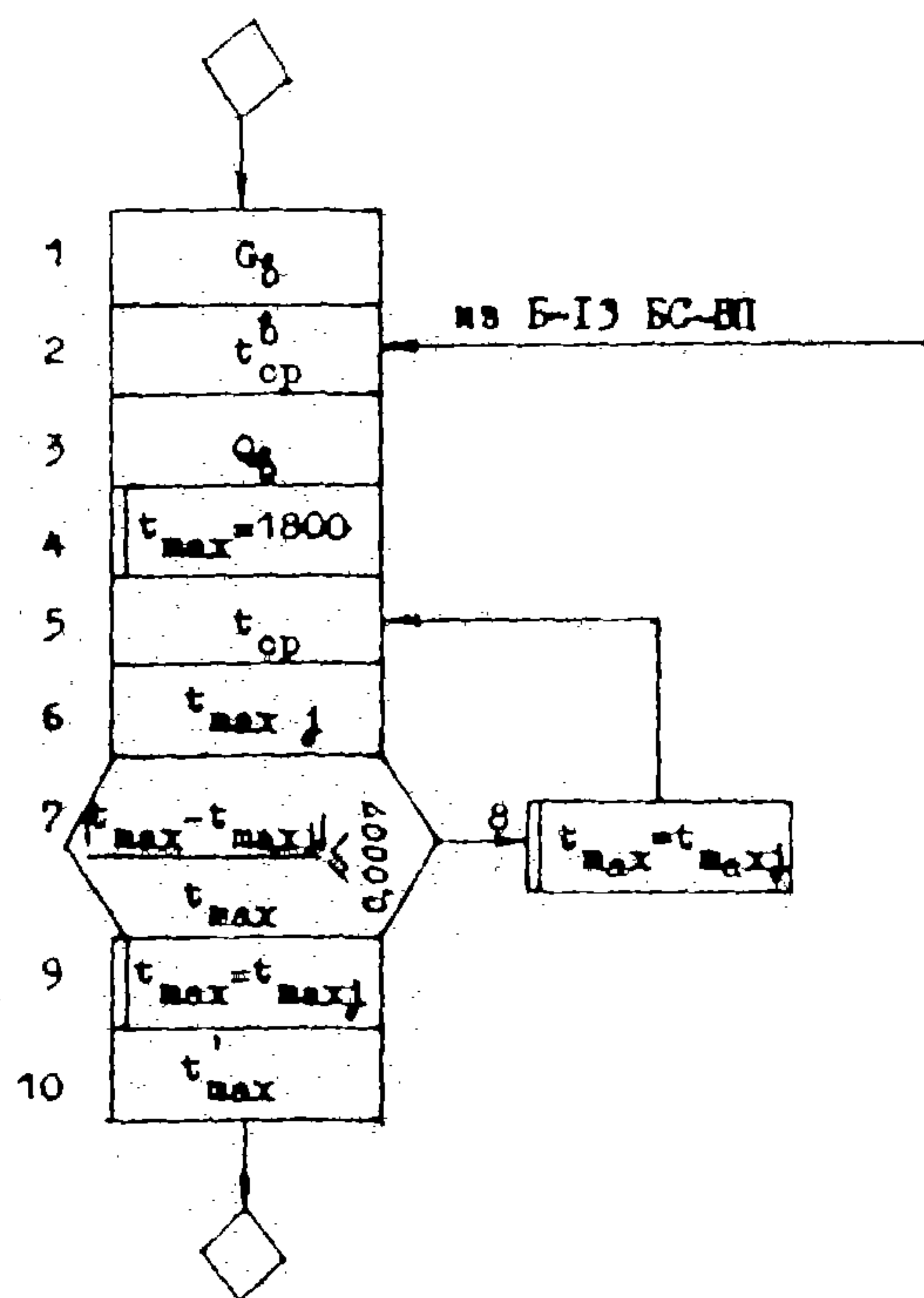
где ω из Т7 Пр или из Б-17,20.

Б-20. Принять $\omega = \alpha - 0,05$

где α из Т7 Пр или из Б-17,20.

$$\underline{BC = t_{\max}}$$

Расчет максимальной температуры горения топлива



Приложение к БС-тепл

Б-1. Расход воздуха на горение: $G_3 = \lambda \cdot L_0 \cdot \delta$,

где λ из Т7 Пр или из Б-17,20, БС-III.

L_0 из Б-17 БС-ТГ

δ из Б-5 БС-В.

Б-3. Средняя температура воздуха:

$$t_{\text{ср}}^{\delta} = \frac{t_n + t_0}{2},$$

где t_n из Т2 И.Д.

t_0 из Б-0 БС-ТР или из Б-13,14, БС-III.

Б-4. Количество тепла, полученного воздухом:

$$Q_3 = 1,02 \cdot \delta \cdot L_0 \cdot C_{\text{ср}}^{\delta} (t_0 - t_{\text{ср}}),$$

где δ из Б-5 БС-В

L из Т7 Пр или из Б-17,20, БС-III

L_0 из Б-17 БС-ТГ

$C_{\text{ср}}^{\delta}$ из Т2 Пр при $t_{\text{ср}}^{\delta}$ из Б-3

t_0 из Б-0 БС-ТР или Б-13,14, БС-III

Б-5. Принять $t_{\text{рас}} = 1800^{\circ}\text{C}$.

Б-6. Средняя температура горения топлива:

$$t_{\text{ср}} = \frac{t_0 + t_{\text{рас}}}{2}.$$

где t_0 из Б-0 БС-ТР или из Б-13,14, БС-III.

$t_{\text{рас}}$ из Б-5 или Б-9

Б-7. Минимальная температура горения:

$$t_{\text{рас}} = t_0 + \frac{\eta \cdot Q_3}{G_0 \cdot C_{\text{ср}}^{\delta}}.$$

где t_0 из Б-0 БС-ТР или из Б-13,14, БС-III.

η из Т7 Пр.

Q_3^{δ} из Б-5 БС-ТГ

G_0 из Б-13 БС-ТГ

$C_{\text{ср}}^{\delta}$ из Б-37 БС-ТГ при $t_{\text{ср}} = \text{Б-6}$.

$$\text{Б-8. Проверка } \frac{|t_{\max} - t_{\max j}|}{t_{\max}} \leq 0,0007,$$

где t_{\max} из Б-5 или Б-9

$t_{\max j}$ из Б-7

$$\text{Б-9,10. Принять } t_{\max} = t_{\max j},$$

где $t_{\max j}$ из Б-7.

Б-II. Уточненная максимальная температура горения:

$$t'_{\max} = t_{\max} - \frac{Q_f}{\rho G_1 C_{p,0}}$$

где t_{\max} из Б-10

Q_f из Б-4

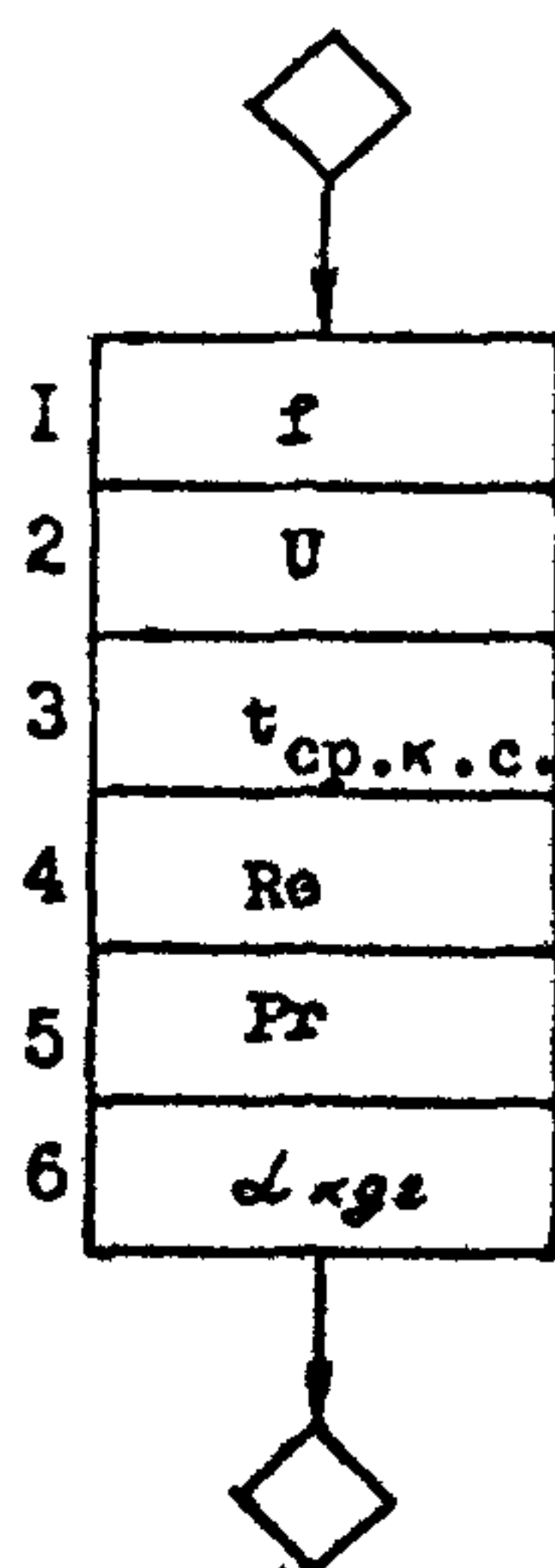
ρ из Б-5 ВС-В

G_1 из Б-19 ВС-МГ

$C_{p,0}$ из Б-37 ВС-МГ при $t_{\text{ср}}$ из Б-6.

БС - α_{kgz}

Расчет коэффициента теплоотдачи конвекцией
со стороны дымовых газов в камере сгорания



Приложение к БС-ДКДГ

Б-1. Живое сечение камеры сгорания:

$$f = \frac{\pi D^2}{4},$$

где D из Т5 Пр.

Б-2. Весовая скорость продуктов сгорания:

$$U = \frac{W G_1}{3600 \cdot f \cdot n_k},$$

где W из Б-5 БС-В

G_1 из Б-19 БС-ЛГ

f из Б-1

n_k из Т5 Пр.

Б-3. Средняя температура продуктов сгорания в камере сгорания:

$$t_{ср\,кс} = \frac{t_{max} + t'_{max}}{2},$$

где t_{max} из Б-10 БС- t_{max}

t'_{max} из Б-11 -"-

Б-4 Число Рейнольдса

$$Re = \frac{U \cdot D}{\nu},$$

где U из Б-2

D из Т5 Пр.

ν из Б-40 при $t_{ср\,кс}$ из Б-3.

Б-5. Число Прандтля

$$Pr = \frac{3600 \cdot C_{Pr} \cdot \nu}{U},$$

где C_{Pr} из Б-37

ν из Б-40 БС-ЛГ при $t_{ср\,кс}$ из Б-3

α из Б-39

Б-6. Коэффициент теплоотдачи конвекцией в камере сгорания:

$$\lambda_{кдг} = 0,021 \frac{\nu^1}{d} \cdot C_e \cdot Re^{0,8} \cdot Pr^{0,43},$$

где ν из Б-39 БС-ЛГ при $t_{ср\,кс}$ из Б-3

d , D из Т5 Пр

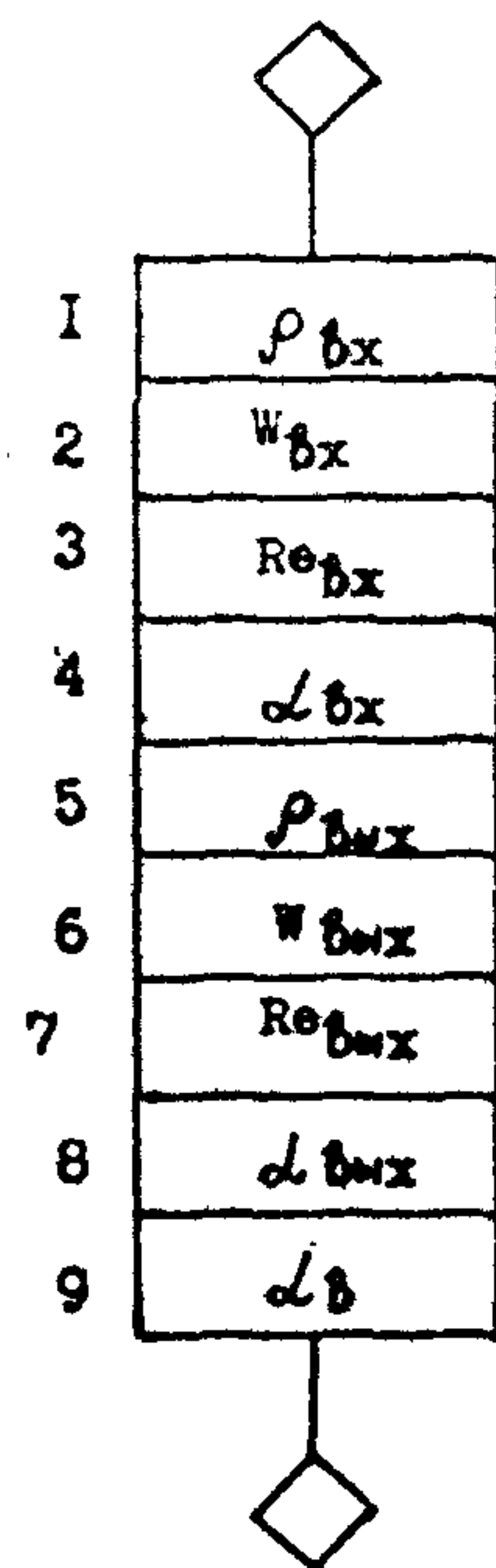
C_e из Т7 Пр

Re из Б-4

Pr из Б-5

БС - 48

Расчет коэффициента теплоотдачи
со стороны воздуха



Приложение к БС- 48

Б-1. Плотность воздуха при t_n :

$$\rho_{\delta x} = 1,293 \frac{273}{273 + t_n},$$

где t_n из Т2 И.Д.

Б-2. Скорость воздуха во входном сечении:

$$w_{\delta x} = \frac{G_1}{3600 \rho_{\delta x} f_{\delta x} \pi_k},$$

где G_1 из Б-1 БС- t_{max}

$\rho_{\delta x}$ из Б-1

$f_{\delta x}$ из Т5 Пр.

π_k из Т5 Пр.

Б-3. Число Рейнольдса во входном сечении

$$Re_{\delta x} = \frac{w_{\delta x} d_{\delta x}}{\lambda_f},$$

где $w_{\delta x}$ из Б-2

$d_{\delta x}$ из Т5 Пр.

λ_f из Т2 Пр при t_n из Т2 И.Д.

Б-4. Коэффициент теплопередачи со стороны воздуха во входном сечении:

$$\alpha_{\delta x} = 0,023 \cdot Re_{\delta x}^{0,82} \frac{c_f}{d_{\delta x}},$$

где $Re_{\delta x}$ из Б-3

c_f из Т2 Пр при t_n из Т2 И.Д.

$d_{\delta x}$ из Т5 Пр.

Б-5. Плотность воздуха при t_0 :

$$\rho_{\delta n x} = 1,283 \frac{273}{273 + t_0},$$

где t_0 из Б-0 БС- ТР или из Б-13,14 БС-ВЛ.

Б-6. Скорость воздуха в выходном сечении:

$$w_{\delta n x} = \frac{G_1}{3600 \rho_{\delta n x} f_{\delta n x} \cdot \pi_k},$$

где G_1 из Б-1 БС- t_{max} $f_{\delta n x}$ из Т5 Пр

$\rho_{\delta n x}$ из Б-5 π_k из Т5 Пр.

Б-7. Число Рейнольдса в выходном сечении:

$$Re_{\text{вых}} = \frac{w_{\text{вых}} \cdot d_{\text{вых}}}{\nu},$$

где $w_{\text{вых}}$ из Б-6

$d_{\text{вых}}$ из Т5 Пр

ν из Т2 Пр при t_0 из Б-0 БС-ТР или Б-13,14,БС-ВИ

Б-8. Коэффициент теплоотдачи со стороны воздуха в выходном сечении:

$$\alpha_{\text{вых}} = 0,023 \cdot Re_{\text{вых}}^{0,82} \frac{\lambda}{d_{\text{вых}}},$$

где из Б-7

λ из Т2 Пр при t_0 из Б-0 БС-ТР Б-13,14, БС-ВИ

$d_{\text{вых}}$ из Т5 Пр.

Б-9. Коэффициент теплоотдачи со стороны воздуха:

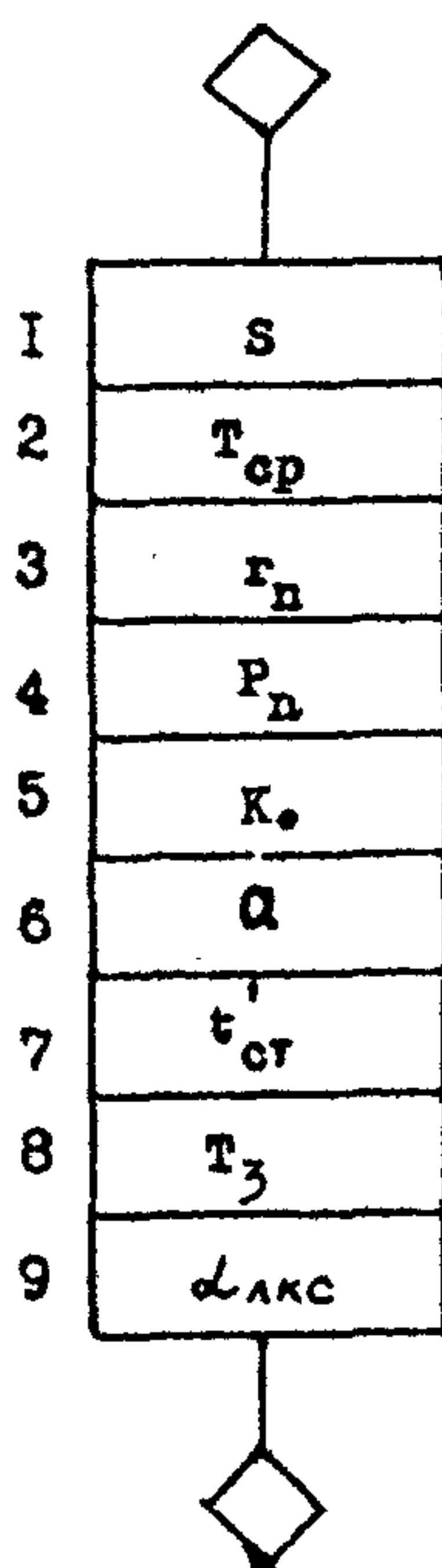
$$\alpha_b = \frac{\alpha_{\text{вых}} - \alpha_{\text{бх}}}{2,3 C_d \frac{\alpha_{\text{вых}}}{\alpha_{\text{бх}}}},$$

где $\alpha_{\text{вых}}$ из Б-8

$\alpha_{\text{бх}}$ из Б-4.

БС - Δ_{AKC}

Расчет лучистого теплообмена в камере
сгорания



Приложение к БС-ЛКС

Б-1. Эквивалентная толщина излучающего слоя:

$$S_{ke} = 3,6 \frac{V_{ke}}{F_{ke}},$$

где V_{ke} из Т5 Пр.

F_{ke} из Т5 Пр.

Б-2. Средняя температура продуктов в камере сгорания, К:

$$T_{cp} = t_{cp\,ke} + 273,$$

где $t_{cp\,ke}$ из Б-3 БС-ЛКДГ

Б-3. Суммарная объемная доля трехатомных газов:

$$\gamma_n = \gamma_{CO_2} + \gamma_{H_2O},$$

где $\gamma_{CO_2} = \rho_{CO_2}$ из Б-34 БС-ЛГ

$\gamma_{H_2O} = \rho_{H_2O}$ из Б-33 БС-ЛГ

Б-4. Суммарное парциальное давление газов:

$$P_n = P_o \cdot \gamma_n,$$

где P_o из Т7 Пр.

γ_n из Б-4.

Б-5. Коэффициент ослабления лучей для трехатомных газов:

$$K_o = \frac{0,78 + 1,6}{\sqrt{P_n + S_{ke}}} \cdot \left(1 - 0,37 \frac{T_{cp}}{1000} \right),$$

где $\gamma_{H_2O} = \rho_{H_2O}$ из Б-33 БС-ЛГ

P_n из Б-5

S_{ke} из Б-1

T_{cp} из Б-3

γ_n из Б-4

Б-6. Степень черноты потока газов:

$$\alpha = 1 - e^{-K_o P_o S_{ke}},$$

где K_o из Б-6

P_o из Т7 Пр

S_{ke} из Б-1

Б-7. Средняя температура стенок камеры сгорания:

$$t'_{cp} = t^b_{cp} + \frac{t_{cp\,ke} - t^b_{cp}}{1 + \frac{\epsilon_b}{\epsilon_{cp}}}$$

где t^b_{cp} из Б-3 БС-ЛКДГ

$t_{cp\,ke}$ из Б-3 БС-ЛКДГ

Δ_3 из Б-9 БС- 48

Δ_{49} из Б-6 БС- 429°

Б-8. Температура стенки трубы без загрязнения:

$$T_3 = t'_{cr} + 273, \quad \text{где } t'_{cr} \text{ из Б-8.}$$

Б-9. Коэффициент теплоотдачи излучением продуктов сгорания:

$$\Delta_{\text{акс}} = 4,9 \cdot 10^{-8} \cdot \frac{\alpha_3 + I}{2} \cdot \alpha \cdot (T_{cr})^3 \cdot \frac{I - (\frac{T_3}{T_{cr}})^{3,6}}{I - \frac{T_3}{T_{cr}}},$$

где α_3 из Т7 Пр

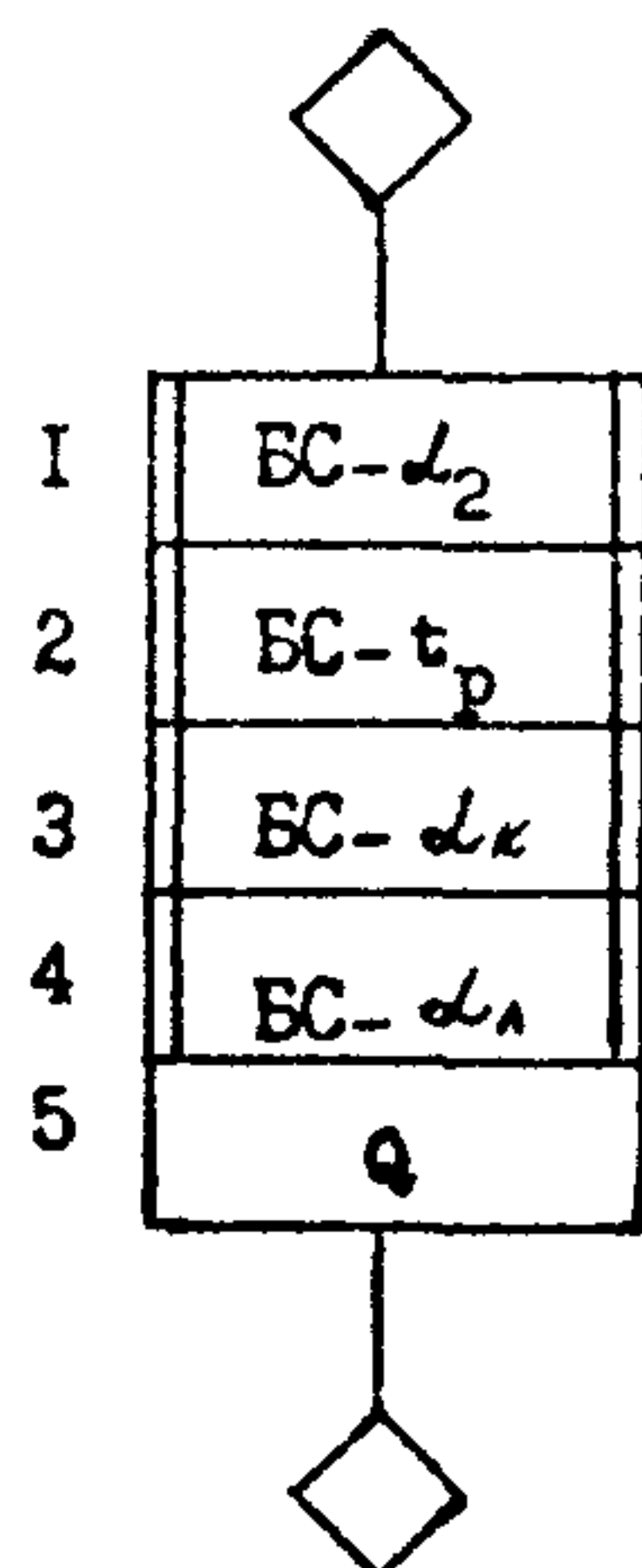
α из Б-7

T_{cr} из Б-3

T_3 из Б-9

БС - Q

Расчет тепла, переданного продуктами
сгорания в теплообменной камере
нагреваемому продукту



Приложение к БС- Q

Б-1. Обращение к БС- ω_x

Б-2. Обращение к БС- t_p

Б-3. Обращение к БС- ω_k

Б-4. Обращение к БС- ω_λ

Б-5. Полное тепло, переданное в печи:

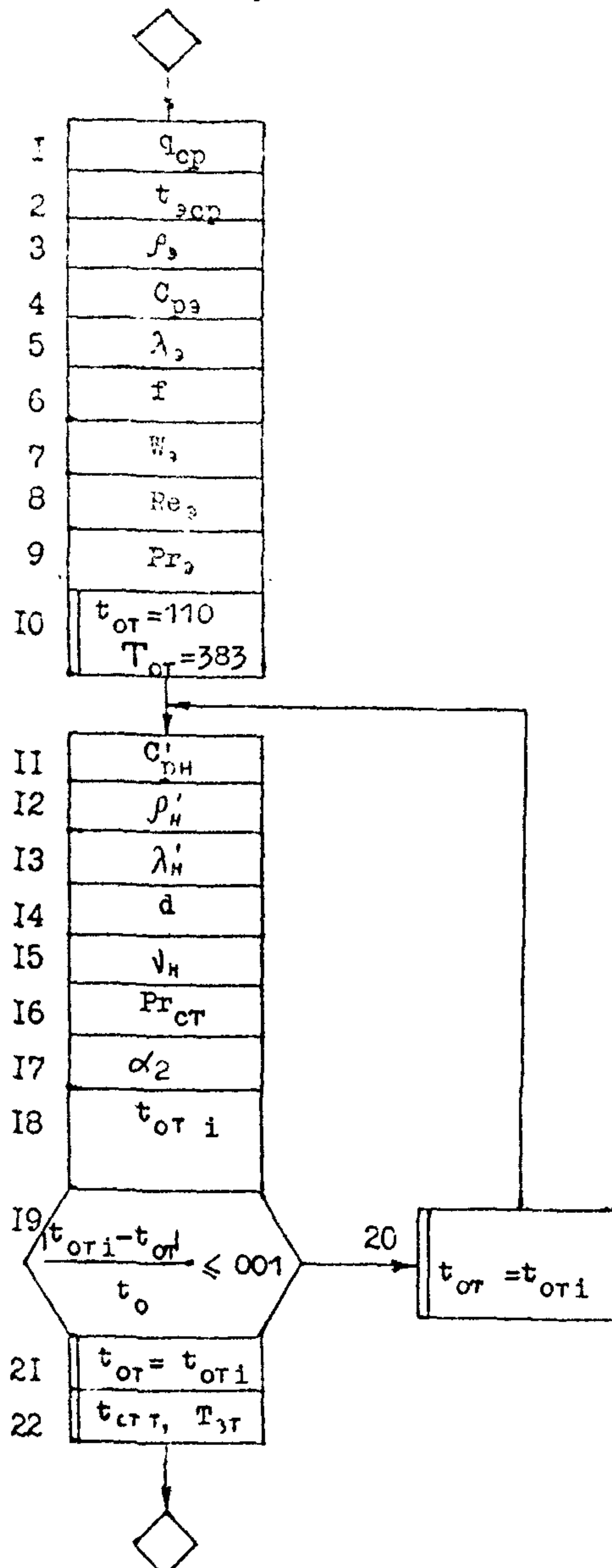
$$Q = Q_k + Q_\lambda$$

где Q_k из Б-20 БС- ω_k

Q_λ из Б-II БС- ω_λ

БС- α_2

Расчет коэффициента теплоотдачи от стенки
трубы к эмульсии



Вынести в таблицу результатов расчета:
 $t_{\text{от}}$ температура стенки трубы с отложениями
из Б-24

Приложение к БС-Д2

Б-1. Средняя теплоизделийность гладких труб:

$$q_{ср} = \frac{Q_p}{H_p}, \quad \text{где } Q_p \text{ из Б-0 или Б-II БС-ТР}$$

Б-2. Средняя температура эмульсии в трубах:

$$t_{ср} = \frac{t_{\theta_k} + t_{вых}}{2}, \quad \text{где } t_{\theta_k}, t_{вых} \text{ из Т2 И.Д.}$$

Б-3. Плотность эмульсии:

$$\rho_e = \rho_b O_e + \rho_n (1 - O_e), \quad \begin{aligned} \text{где } \rho_b, \rho_n &\text{ из Т3 И.Д.} \\ O_e &\text{ из Т2 И.Д.} \end{aligned}$$

Б-4. Теплоемкость эмульсии:

$$C_{рe} = C_{рb} O_e + C_{рn} (1 - O_e), \quad \begin{aligned} \text{где } C_{рb}, C_{рn} &\text{ из Т3 И.Д.} \\ O_e &\text{ из Т2 И.Д.} \end{aligned}$$

Б-5. Термопроводность эмульсии:

$$\lambda_e = \lambda_b \cdot O_e + \lambda_n (1 - O_e), \quad \begin{aligned} \text{где } \lambda_b, \lambda_n &\text{ из Т3 И.Д.} \\ O_e &\text{ из Т2 И.Д.} \end{aligned}$$

Б-6. Площадь проходного сечения трубы:

$$f = \frac{\pi d_{вн}^2}{4}, \quad \begin{aligned} \text{где } \pi &= 3,14 \\ d_{вн} &\text{ из Т4 Пр} \end{aligned}$$

Б-7. Средняя линейная скорость эмульсии в трубах:

$$W_e = \frac{G_e}{3600 \rho_e f m_x}, \quad \begin{aligned} \text{где } G_e &\text{ из Т2 И.Д.} \\ \rho_e &\text{ из Б-3} \\ f &\text{ из Б-6} \\ m_x &\text{ из Б-1,7,8 БС-РП} \end{aligned}$$

Б-8. Число Рейнольдса в трубах:

$$Re_e = \frac{W_e d_{вн}}{\eta_e}, \quad \begin{aligned} \text{где } W_e &\text{ из Б-7} \\ \eta_e &\text{ из Т4 Пр} \\ \eta_e &\text{ из Т3 И.Д.} \end{aligned}$$

Б-9. Число Прандтля

$$Pr_e = \frac{3600 C_{рe} \bar{\gamma}_e \rho_e}{\lambda_e}, \quad \text{где } C_{рe} \text{ из В-4} \\ \bar{\gamma}_e \text{ из Т3 И.Д.}$$

ρ_o из Б-3

λ_o из Б-5

Б-10. Принять $t_{ot} = 110^{\circ}\text{C}$
 $T_{ot} = 383^{\circ}\text{K}.$

Б-11. Теплоемкость нефти при температуре стенки трубы с отложениями

$$C'_{rh} = \frac{(0,403 + 0,00081 t_{ot})}{\sqrt{d_n^{15}}}, \text{ где } \begin{aligned} t_{ot} &\text{ из Б-10 или Б-20} \\ \rho_n^{20} &\text{ из ТЗ И.Д.} \\ d_n^{15} &\text{ из ТЗ И.Д.} \end{aligned}$$

Б-12. Плотность нефти при температуре стенки трубы с отложениями

$$\rho' = \rho_n^{20} - (0,1828 - 0,132 d_n^{15}) \cdot (T_{ot} - 293), \quad \begin{aligned} \rho_n^{20} &\text{ из ТЗ И.Д.} \\ T_{ot} &\text{ из Б-10 или Б-20} \\ d_n^{15} &\text{ из ТЗ И.Д.} \end{aligned}$$

Б-13. Теплопроводность нефти:

$$\lambda'_n = \frac{0,1}{d_n^{15}} (1 - 0,00054 \cdot t_{ot}), \text{ где } \begin{aligned} d_n^{15} &\text{ из ТЗ И.Д.} \\ t_{ot} &\text{ из Б-10 или Б-20} \end{aligned}$$

Б-14. Показатель степени:

$$d = 10 \lg \lg (t_1 + 0,8) + \frac{[4,62(t_1 + 0,8) - 9,29(t_2 + 0,8)]}{\lg T_1 - \lg T_2} \cdot (\lg T_{ot} - \lg T_1),$$

где t_1, t_2 из ТЗ И.Д.

T_{ot} из Б-10 или Б-20

Б-15. Вязкость нефти при температуре стенки трубы с отложениями

$$\eta_n = (10^d - 0,8) \cdot 10^{-6}, \quad \text{где } d \text{ из Б-14.}$$

Б-16. Число Прандтля стенки;

$$Re_{ct} = \frac{3600 \cdot C'_{rh} \cdot \eta_n \cdot \rho'_n}{\lambda'_n}, \quad \begin{aligned} C'_{rh} &\text{ из Б-11} \\ \eta_n &\text{ из Б-15} \\ \rho'_n &\text{ из Б-12} \\ \lambda'_n &\text{ из Б-13} \end{aligned}$$

Б-17. Коэффициент теплоотдачи от стенки трубы к эмульсии:

$$A_2 = 0,023 \frac{c_t c_e}{d_n} Re_2^{0,8} Pr_2^{0,43} \left(\frac{Re_2}{Pr_{ct}} \right)^{0,25} \quad \begin{aligned} c_t c_e, \\ Pr_{ct} &\text{ из Б-16} \\ c_t, c_e &\text{ из Т7 Пр.} \end{aligned}$$

где λ_n из Б-5
 d_n из Т4 Пр
 Re_2 из Б-8
 Pr_2 из Б-9

Б-18. Уточненная температура стенки трубы с отложениями

$$t_{ot} = t_{scr} + \frac{q_{cr}}{\alpha_2},$$

где t_{scr} из Б-2

α_2 из Б-17

q_{cr} из Б-1

Б-19. Проверка

$$\frac{|t_{ot} - t_{otl}|}{t_{ot}} \leq 0,01, \text{ где } t_{ot} \text{ из Б-10 или Б-20}$$

t_{otl} из Б-18

Б-20,21. Принять $t_{ot} = t_{otl}$

где t_{ot}, T_{ot} из Б-18

$T_{ot} = T_{otl}$

Б-22. Температура стенки трубы со стороны ребер:

$$t_{otr} = t_{ot} + q_{cr} \left(\frac{\delta_r}{\lambda_m} + \frac{\delta_{st}}{\lambda_{ot}} \right),$$

где t_{ot} из Б-20,

q_{cr} из Б-1

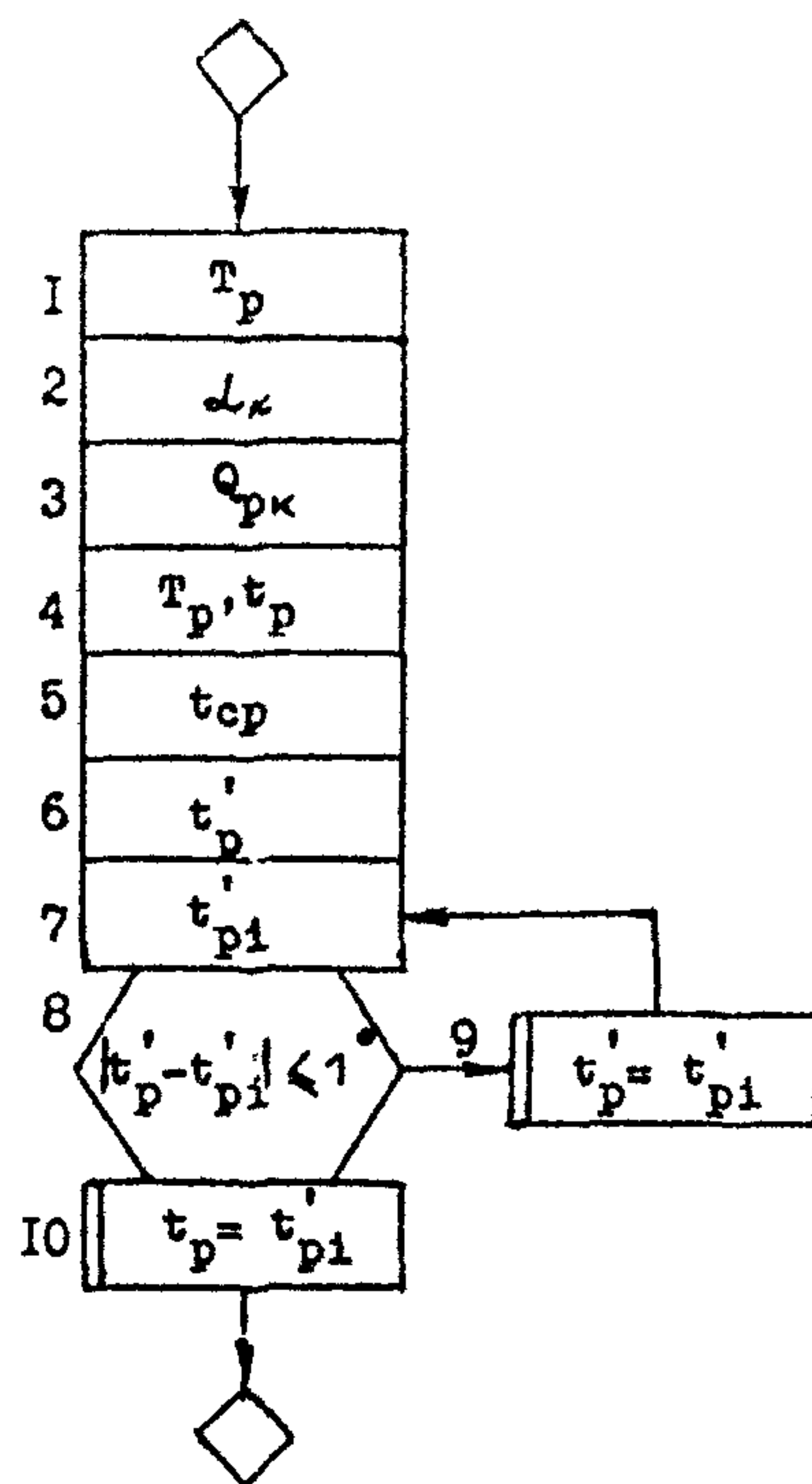
δ_r из Т4 Пр

λ_m из Т7 Пр

$\delta_{st}, \lambda_{ot}$ из Т4 И.Д.

$$\underline{BC = t_p}$$

Расчет температуры дымовых газов на перевале



Приложение к БС- t_p

Б-1 $T_p = t_p + 273$, где t_p из Б-0 БС-ТР или Б-14

Б-2 Средняя теплоизменность гладких труб:

$$q_{ep} = -\frac{Q_n}{F_{2A}}, \quad \text{где } Q_n \text{ из Б-0 или Б-10 БС-ТР}$$

F_{2A} из Т4 Пр.

Б-3 Коэффициент теплоотдачи от стенки труб к эмульсии конвекцией:

$$\alpha_k = 1,8 \sqrt{T_p - T_{3T}}, \quad \text{где } T_p \text{ из Б-2}$$

T_{3T} из Б-21 БС- α_2

Б-4. Тепло, переданное конвекцией от газов к экрану:

$$Q_{pk} = \alpha_k \cdot F_{2A} (\varphi_k \cdot T_p - T_{3T}),$$

где α_k из Б-6

F_{2A} из Т4 Пр

φ_k из Т7 Пр

T_p из Б-2

T_{3T} из Б-21 БС- α_2

Б-5. Температура на перевале без учета рециркуляции:

$$T_p = \sqrt{\frac{1}{\psi} \left[\frac{100^4}{C_s H_s} (Q_n - Q_{pk}) + T_{3T} \right]},$$

где C_s, ψ из Т7 Пр

H_s из Т4 Пр

Q_n из Б-0 или Б-10, БС-ТР

Q_{pk} из Б-7, T_{3T} из Б-21, БС- α_2

$$t_p = T_p - 273.$$

Б-6. Средняя температура дымовых газов между перевалом и выходом из печи:

$$t_{ep} = \frac{t_p + t_{yx}}{2},$$

где t_p из Б-8

t_{yx} из Б-0 БС-ТР или из Б-9,10, БС-ТР

Б-7. Температура газов на перевале с учетом рециркуляции дымовых газов:

$$t'_{pi} = \frac{C_{rmp} \cdot t_p + 1,5 C_{rmpr} \cdot t_{cp}}{2,5 C_{rmp}},$$

где $C_{рмр}$ из Б-37 БС-ПГ при t_p из Б-8
 $C_{ртср}$ из Б-37 БС-ПГ при $t_{ср}$ из Б-9
 $C'_{рмр}$ из Б-37 БС-ПГ при $t'_p = t_p - 50$, t_p из Б-8.

Б-8 Уточнение температуры дымовых газов на перевале с учетом рециркуляции:

$$t'_{pi} = \frac{C_{рмр} t_p + 1,5 C_{ртср} t_{ср}}{2,5 C'_{рмр}},$$

где $C_{рмр}$, $C_{ртср}$ как и в Б-10

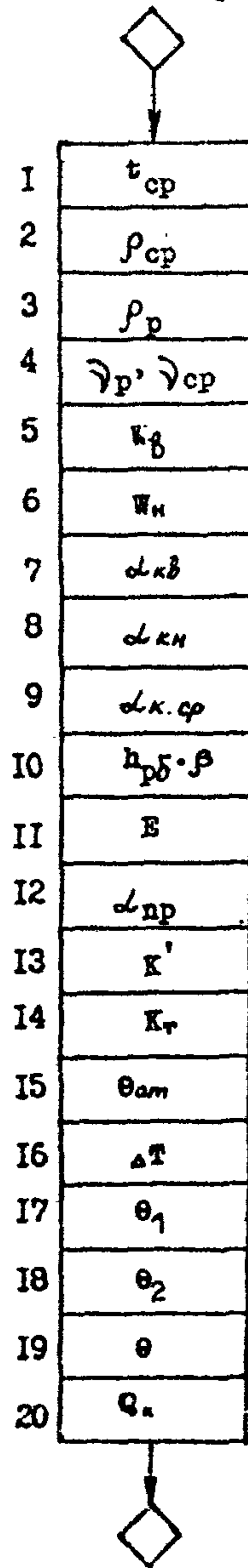
$C'_{рмр}$ из Б-43 БС-ПГ при t'_p из Б-10 или 13

Б-9 Проверка $|t'_p - t'_{pi}| \leq 1^\circ$

где t'_p из Б-10,13; t'_{pi} из Б-11.

БС- ΔK

Расчет количества тепла, переданного конвекцией
в теплообменной камере



Приложение к БС- ω

Б-1. Средняя температура дымовых газов

$$t_{ср} = \frac{t_p + t_{yx}}{2}, \quad \text{где } t_p \text{ из Б-14 БС-} t_p \\ t_{yx} \text{ из Б-0 БС-TP или} \\ \text{Б-8,9 БС-TP}$$

Б-2. Плотность дымовых газов при средней температуре

$$\rho_{ср} = \frac{\rho_0 273}{273 + t_{ср}}, \quad \text{где } t_{ср} \text{ из Б-1} \\ \rho_0 \text{ из Б-32 БС-ЛГ}$$

Б-3. Плотность дымовых газов при температуре перевала

$$\rho_p = \frac{\rho_0 273}{273 + t_p}, \quad \text{где } \rho_0 \text{ из Б-32 БС-ЛГ} \\ t_p \text{ из Б-14 БС-} t_p$$

Б-4. Коеффициент кинематической вязкости дымовых газов при средней температуре дымовых газов и температуре перевала

$$\bar{\zeta}_{ср} = \frac{\zeta_{ср}}{\rho_{ср}}; \quad \bar{\gamma}_p = \frac{\gamma_p}{\rho_p},$$

где $\zeta_{ср} = \zeta$ из Б-40 БС-ЛГ при $t_{ср}$ из Б-1

$\zeta_p = \zeta$ из Б-40 БС-ЛГ при t_p из Б-14 БС- t_p

$\rho_{ср}$ из Б-2
 ρ_p из Б-3

Б-5. Скорость омывания экрана в верхних 3-х рядах

$$w_s = \frac{\pi B G}{3600 \cdot 2 \cdot F_s \rho_p}, \quad \text{где } \pi \text{ из Т7 Пр} \\ B \text{ из Б-5 БС-В} \\ G \text{ из Б-19 БС-ЛГ} \\ F \text{ из Т4 Пр} \\ \rho_p \text{ из Б-3}$$

Б-6. Скорость омывания экрана в нижних 5-ти рядах.

$$w_n = \frac{(n-1) B G}{3600 \cdot 2 \cdot F_n \rho_{ср}}, \quad \text{где } n \text{ из Т7 Пр} \\ B \text{ из Б-5 БС-В} \\ G \text{ из Б-19 БС-ЛГ} \\ F_n \text{ из Т4 Пр} \\ \rho_{ср} \text{ из Б-2}$$

Б-7. Коэффициент теплоотдачи конвекцией в верхней части теплообменной камеры

$$\mathcal{L}_{KB} = 0,23 C_2 \varphi_2^{0,2} \frac{\lambda_p}{Sp\delta} \left(\frac{d}{Sp\delta} \right)^{-0,54} \left(\frac{h_{p\delta}}{Sp\delta} \right)^{-0,14} \left(\frac{w_g Sp\delta}{\gamma_p} \right)^{0,65},$$

где C_2 из Т7 Пр
 φ_2 из Т7 Пр
 λ_p из Б-39 БС-ПГ при t_p из Б-14 БС- t_p
 $Sp\delta$ из Т4 Пр
 d из Т4 Пр
 $h_{p\delta}$ из Т4 Пр
 w_g из Б-5
 γ_p из Б-4

Б-8. Коэффициент теплоотдачи конвекцией в нижней части теплообменной камеры

$$\mathcal{L}_{KN} = 0,23 C_2 \varphi_2^{0,2} \frac{\lambda_{cp}}{Sp\delta} \left(\frac{d}{Sp\delta} \right)^{-0,54} \left(\frac{h_{p\delta}}{Sp\delta} \right)^{-0,14} \left(\frac{w_h Sp\delta}{\gamma_{cp}} \right)^{0,65},$$

где λ_{cp} из Б-39 БС-ПГ при t_{cp} из Б-1
 w_h из Б-6
 γ_{cp} из Б-4

Б-9. Средний коэффициент теплоотдачи конвекцией

$$\mathcal{L}_{Kcp} = \frac{\mathcal{L}_{KB} H_B + \mathcal{L}_{KN} H_N}{H_B + H_N},$$

где \mathcal{L}_{KB} из Б-7
 \mathcal{L}_{KN} из Б-8
 H_B, H_N из Т4 Пр

$$B-10. h_{p\delta} \cdot \beta = h_{p\delta} \sqrt{\frac{2 \psi_{p\delta} \mathcal{L}_{Kcp}}{Sp\delta \cdot 2m(1 + 2\psi_{p\delta} \alpha_{Kcp})}},$$

где $\psi_{p\delta}$ из Т7 Пр
 \mathcal{L}_{Kcp} из Б-9
 $h_{p\delta}, Sp\delta$ из Т4 Пр
 ϵ из Т7 Пр λ_m из Т7 Пр

Б-II. Коэффициент эффективности ребер

$$\Xi = f(\lambda, h_{pr}, \rho) , \quad \text{где } E \text{ из Т10 Пр при } h_{pr} \text{ из Б-10.}$$

Б-12. Пониженный коэффициент теплоотдачи, отнесенный к полной поверхности с газовой стороны,

$$\alpha_{np} = \left[\frac{F_p}{F_n} E_M + \frac{F_{tp}}{F_n} \right] \frac{\psi_{pr} \cdot \alpha_{kcp}}{1 + \delta \psi_{pr} \alpha_{kcp}} ,$$

где F_p, F_n, F_{tp} из Т4 Пр

δ, μ, ψ_{pr} из Т7 Пр

E из Б-II

α_{kcp} из Б-9

Б-13. Коэффициент теплопередачи, отнесенный к полной поверхности (чистые трубы),

$$K' = \frac{I}{\frac{1}{\alpha_{np}} + \frac{1}{\alpha_x} + \frac{F_n}{F_{sh}}} ,$$

где α_{np} из Б-12

α_x из Б-9 БС- α_x

F_n, F_{sh} из Т4 Пр

Б-14. Коэффициент теплопередачи, отнесенный к гладкой поверхности труб,

$$K_T = K' \frac{F_n}{F_{sh}} ,$$

где K' из Б-13

F_n, F_{sh} из Т4 Пр

Б-15. Средняя арифметическая разность температур потоков:

$$\theta_{av} = \frac{t_p + t_{yx}}{2} - \frac{t_{B_{avx}} + t_{B_k}}{2} ,$$

где t_p из Б-14 БС- t_p

t_{yx} из Б-0 БС-TP или Б-8,9 БС-TP

$t_{B_{avx}}, t_{B_k}$ Т2 И.Д.

Б-16. Характеристическая разность температур потоков:

$$\Delta T = \sqrt{[(t_p - t_{yx}) + (t_{B_{avx}} - t_{B_k})]^2 - 4P(t_p - t_{yx})(t_{B_{avx}} - t_{B_k})} ,$$

где $t_p, t_{B_{avx}}, t_{B_k}, t_{yx}$ - см.Б-15

P из Т7 Пр.

Б-17. Наибольшая разность температур

$$\Theta_1 = \Theta_{\text{от}} + \frac{1}{2} \Delta T,$$

где $\Theta_{\text{от}}$ из Б-15
 ΔT из Б-16

Б-18. Наименьшая разность температур

$$\Theta_2 = \Theta_{\text{от}} - \frac{1}{2} \Delta T.$$

Б-19. Средняя разность температур между нагревающим и нагреваемым потоками:

$$\Theta_m = \frac{\Theta_1 - \Theta_2}{2,3 \lg \frac{\Theta_1}{\Theta_2}},$$

где Θ_1 из Б-17
 Θ_2 из Б-18

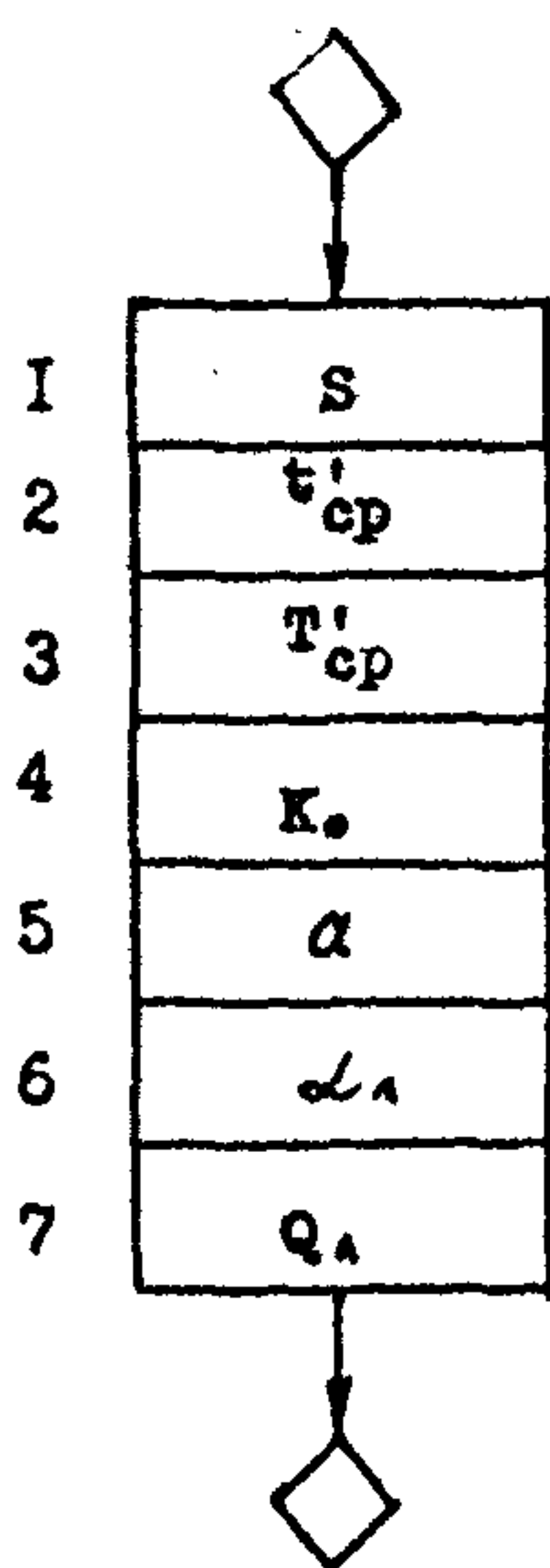
Б-20. Тепло, переданное нагреваемому продукту конвекцией,

$$\Theta_k = \Theta_m K_T F_{\text{ conv}},$$

где Θ_m из Б-19
 K_T из Б-14
 $F_{\text{ conv}}$ из Т4 Пр.

БС - α_A

Расчет количества тепла, переданного
излучением дымовых газов в теплооб-
менной камере



Приложение к БС- ω_A

Б-1. Эффективная толщина излучающего слоя, м :

$$S = 3,6 \frac{V_T}{F_{\text{ст}}}, \text{ где } V_T \text{ из Т4 Пр}$$

$F_{\text{ст}}$ из Т4 Пр

Б-2. Средняя температура дымовых газов до перевала, $^{\circ}\text{C}$:

$$t'_{\text{ср}} = \frac{t'_{\text{max}} + t_p}{2}, \quad \begin{aligned} t'_{\text{max}} &\text{ из Б-II БС- } t_{\text{max}} \\ t_p &\text{ из Б-I4 БС- } t_p \end{aligned}$$

Б-3. $T'_{\text{ср}} = t'_{\text{ср}} + 273,$

где $t'_{\text{ср}}$ из Б-2.

Б-4. Коэффициент ослабления лучей для трехатомных газов:

$$K_0 = \left(\frac{0,78 + 1,6 \gamma_{\text{ко}}}{\sqrt{P_n \cdot S}} \right) \left(1 - 0,37 \frac{T'_{\text{ср}}}{1000} \right) \cdot \chi_n,$$

где $\gamma_{\text{ко}} = \rho_{\text{ко}} / \rho_{\text{возд}}$ из Б-33 БС-III
 P_n из Б-5 БС- $\omega_{\text{акс}}$
 S из Б-1
 $T'_{\text{ср}}$ из Б-3
 χ_n из Б-4 БС- $\omega_{\text{акс}}$

Б-5. Степень черноты потока газов:

$$\alpha = 1 - e^{-K_0 P_n S},$$

где K_0 из Б-4

P_n из Т7 Пр

S из Б-1.

Б-6. Коэффициент теплоотдачи излучением продуктов сгорания:

$$\omega_A = 4,9 \cdot 10^{-8} \frac{Q_3 + I}{2} \cdot a (T_{\text{ср}})^3 \frac{1 - \left(\frac{T'_{\text{ср}}}{T_{\text{ср}}}\right)^{2,6}}{1 - \frac{T_{\text{ср}}}{T'_{\text{ср}}}},$$

где Q_3 из Т7 Пр
 a из Б-7

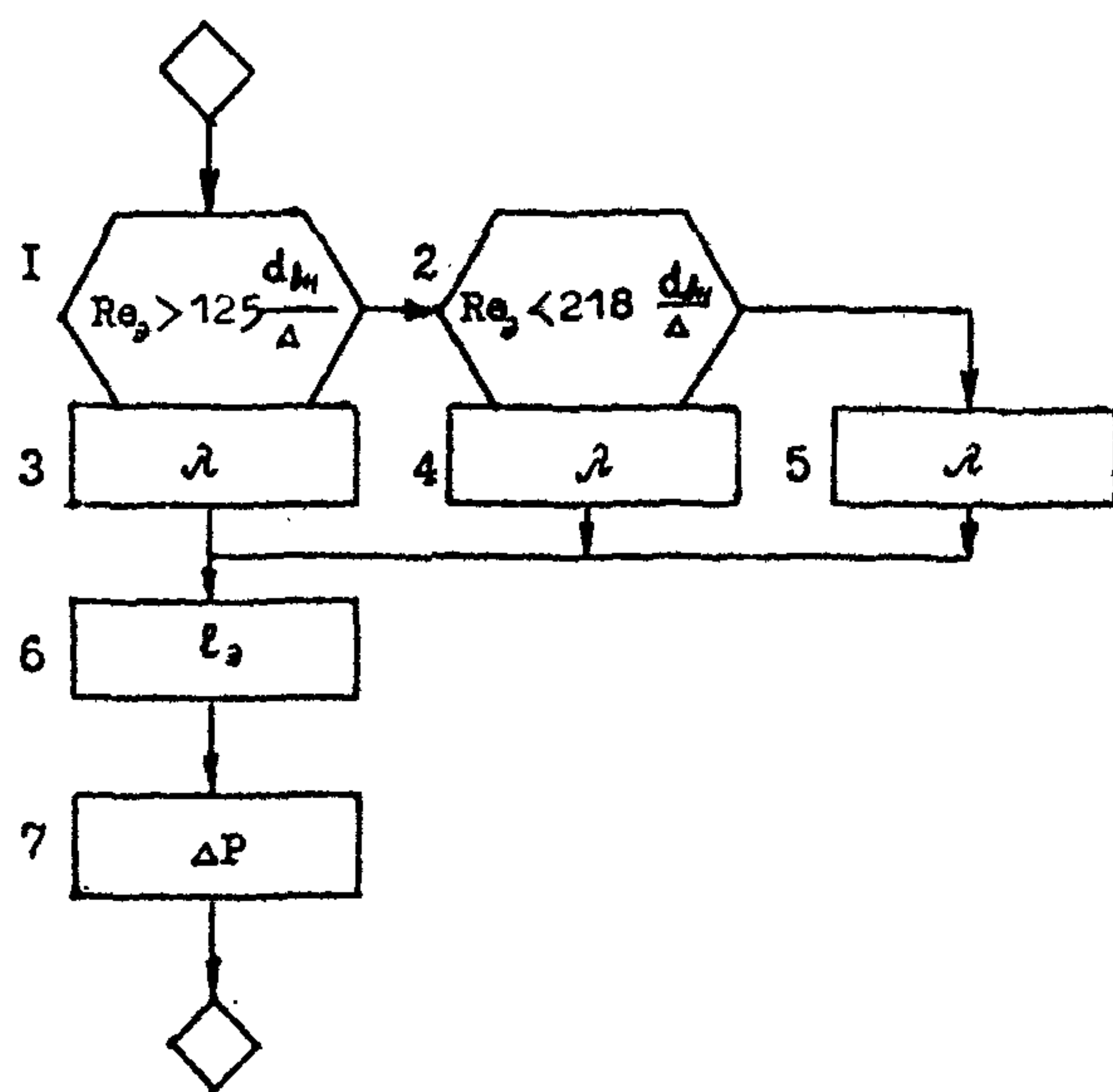
$T'_{\text{ср}}$ из Б-3
 $T_{\text{ср}}$ из Б-2I БС- ω_A

Б-7. Тепло, переданное излучением продуктов сгорания:

$$Q_n = \omega_A (T'_{\text{ср}} - T_{\text{ср}}) N_A, \quad \begin{aligned} \text{где } \omega_A &\text{ из Б-10} \\ T_{\text{ср}} &\text{ из Б-2I БС- } \omega_A \\ N_A &\text{ из Т4 Пр} \end{aligned}$$

БС -ГР

Гидравлический расчет печи



Приложение к БС-ГР

Б-1. Проверка

$$Re > 125 \frac{d_{bh}}{\Delta},$$

где Re из Б-7 БС- ω_2 d_{bh} из Т4 Пр Δ из Т4 И.Д.

$$\text{Б-2. Проверка } 2300 < Re < 218 \frac{d_{bh}}{\Delta}.$$

Б-3. Коэффициент гидравлического сопротивления:

$$\lambda = 0,11 \sqrt{\frac{A}{d_{bh}}},$$

$$\text{Б-4. } \lambda = 0,1 \left(\frac{A}{d_{bh}} + \frac{100}{Re} \right)^{0,25},$$

$$\text{Б-5. } \lambda = 0,11 \left(\frac{A}{d_{bh}} + \frac{68}{Re} \right)^{0,25},$$

Б-6. Эквивалентная длина труб одного потока:

$$\ell_e = n_n \cdot \ell + (n_n - 1) \Psi_e d_{bh},$$

m_x	1	2	4
n_n	32	16	8

где ℓ, d_{bh} из Т4 Пр. Ψ_e из Т7 Пр

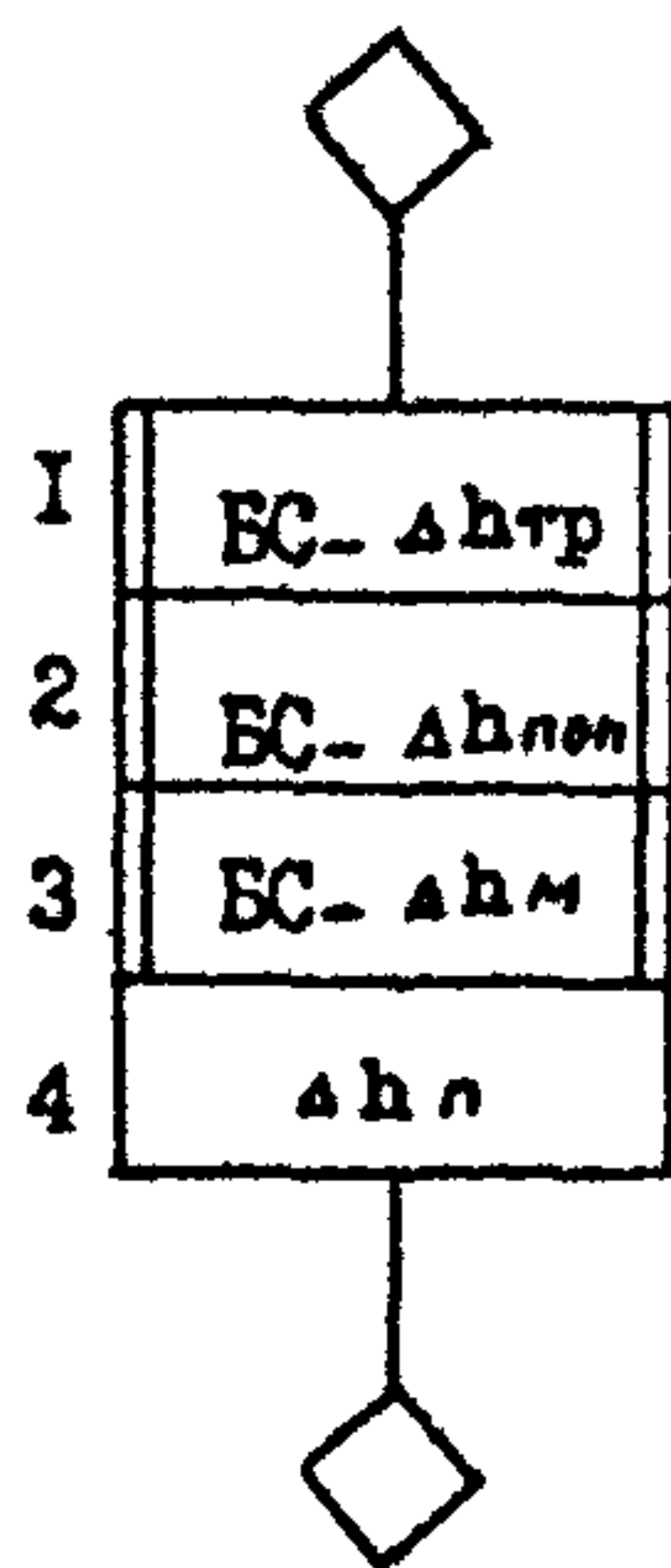
Б-7. Потери напора в трубах:

$$\Delta P = \lambda \frac{\ell_e}{d_{bh}} \frac{W_g^2}{2g} \rho_g,$$

где λ из Б-3,4,5, ℓ_e из Б-6, W_g из Б-6, БС- ω_2 d_{bh} из Т4 Пр, g из Т7 Пр ρ_g из Б-2 БС- ω_2

БС - АР

Аэродинамический расчет печи



Приложение к БС-АР

Б-1 Обращение к БС- $\Delta h_{тр}$

Б-2 Обращение к БС- $\Delta h_{поп}$

Б-3 Обращение к БС - Δh_m

Б-4 Аэродинамическое сопротивление печи:

$$\Delta h_n = \Delta h_{тр} + \Delta h_{поп} + \Delta h_m,$$

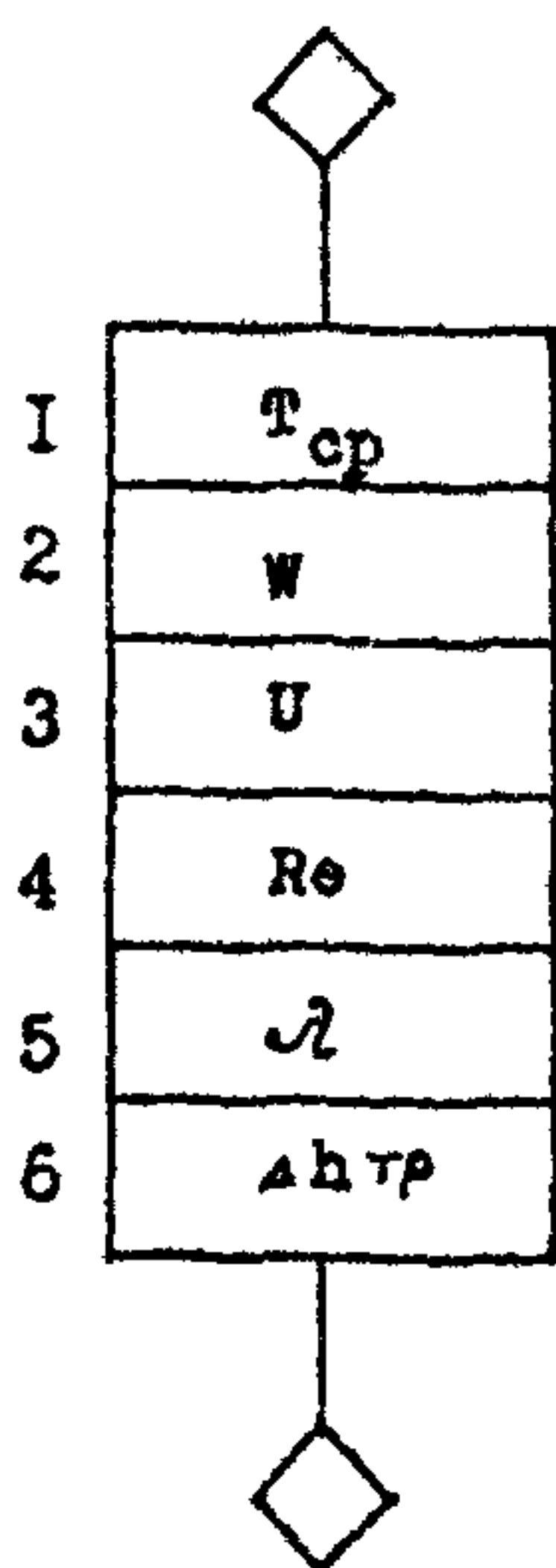
где $\Delta h_{тр}$ из Б-6 БС- $\Delta h_{тр}$

$\Delta h_{поп}$ из Б-12 БС- $\Delta h_{поп}$

Δh_m из Б-7 БС- Δh_m

БС = Δh_{tr}

Расчет сопротивления трения



Приложение к БС- Δh_{тр}

Б-1. Средняя температура дымовых газов, К :

$$T_{ср} = t_{ср} + 273,$$

где $t_{ср}$ из Б-1 БС- Δh _к.

Б-2. Скорость дымовых газов в теплообменной камере:

$$W = \frac{n \cdot V \cdot G_1}{3600 \cdot 2 \cdot F \cdot \rho_{ср}},$$

где n из Т.7 Пр; V из Б-5 БС-В;
 G_1 из Б-19 БС-ЛГ; F из Т.4 Пр

$$\rho_{ср} = \rho_0 \frac{273}{273 + t_{ср}}, \text{ где } \rho_0 \text{ из Б-32 БС-ЛГ}$$

$t_{ср}$ из Б-1 БС- Δh _к

Б-3. Массовая скорость дымовых газов в теплообменной камере:

$$U = W \rho_{ср},$$

где $W, \rho_{ср}$ из Б-2.

Б-4. Число Рейнольдса:

$$Re = \frac{U d_3}{z_{ср}},$$

где U из Б-3; d_3 из Т.4. Пр.

$z_{ср} = z$ из Б-10 БС-ЛГ при $t_{ср}$ из Б-1 БС- Δh _к

Б-5. Коэффициент сопротивления трения:

$$\lambda = 0,1 (1,46 \frac{K}{d_3} + \frac{100}{Re})^{0,25},$$

где K из Т.7 Пр; d_3 из Т.4 Пр.
 Re из Б-4.

Б-6. Сопротивление трения:

$$\Delta h_{тр} = \lambda \frac{\ell_x}{d_3} \frac{W^2}{2g} \rho_{ср},$$

где λ из Б-5, ℓ_x из Т.4 Пр

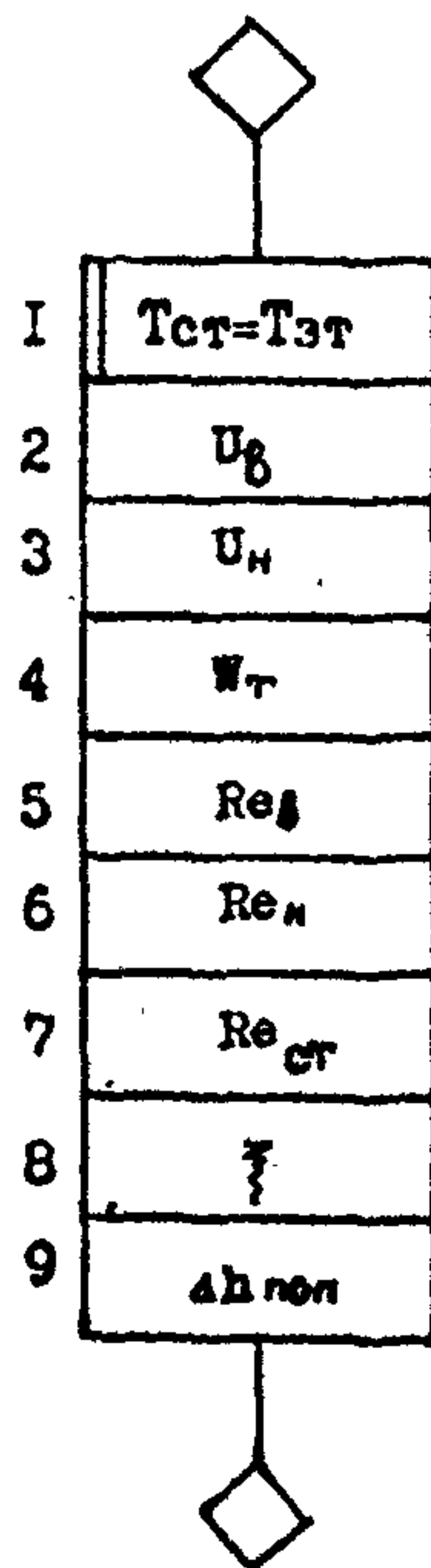
d_3 из Т.4 Пр W из Б-2

g из Т.7 Пр.

$\rho_{ср}$ из Б-2.

БС - $\Delta h_{\text{нен}}$

Расчет сопротивлений поперечно
омываемых труб



Приложение к БС-Δh_{нап}

Б-1. Принять $T_{ср} = t_{ср} + 273$, где $t_{ср}$ из Б-21 БС-Δ_к.

Б-2. Массовая скорость дымовых газов в верхних 3-х рядах труб:

$$W = \frac{\pi \cdot B \cdot G}{3600 \cdot Z \cdot F \cdot \rho_{ср}}, \text{ где } B \text{ из Б-5}$$

$$\rho_{ср} = \frac{273 \cdot \rho_0}{273 + t_{ср}}, \quad \rho_0 \text{ из Б-32 БС-ПГ; БС-Δ_к} \\ t_{ср} \text{ из Б-8 Б-21 БС-Δ_к}$$

Б-3. Массовая скорость дымовых газов в нижних 5-ти рядах труб:

$$U_n = W_n \cdot \rho_{ср}, \quad \text{где } W_n \text{ из Б-6 БС-Δ_к}$$

Б-4. Средняя скорость дымовых газов, омывающих трубный зеркало:

$$W_T = \frac{W_B H_B + W_H H_H}{H_B + H_H},$$

где W_B, W_H из Б-5, 6 БС-Δ_к
 H_B, H_H из Т4 Пр.

Б-5. Число Рейнольдса в верхних 3-х рядах труб:

$$Re_B = \frac{U_B H_B}{\nu_{ст}},$$

где U_B из Б-2; H_B из Т4 Пр.

$\nu_{ст}$ из Б-40 БС-ПГ при $t_{ср}$ из Б-21 БС-Δ_к.

Б-6. Число Рейнольдса в нижних 5-ти рядах труб:

$$Re_H = \frac{U_H H_H}{\nu_{ст}}, \quad \text{где } U_H \text{ из Б-3} \\ H_H \text{ из Т4 Пр.}$$

Б-7. Среднее число Рейнольдса в теплообменной камере:

$$Re_{ст} = \frac{Re_B H_B + Re_H H_H}{H_B + H_H},$$

где Re_B, Re_H из Б-5, 6 H_B, H_H из Т4 Пр.

Б-8. Коэффициент сопротивления пучка труб с обвязкой:

$$\xi = 2,7 z_2 \left(\frac{h_{пб}}{d} \right)^{0,46} \left(\frac{S_{пб}}{d} \right)^{-0,72} Re_{ст}^{-0,29},$$

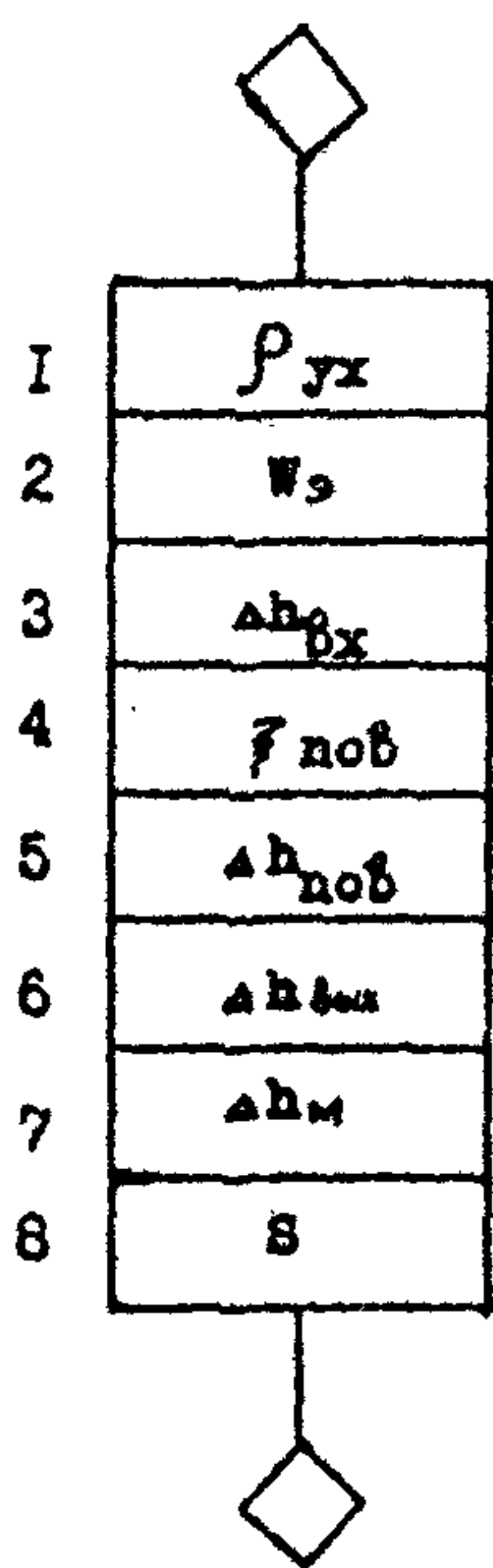
где $z_2, h_{пб}, d, S_{пб}$ из Т4 Пр $Re_{ст}$ из Б-7.

Б-9. Сопротивление поперечно омываемых труб:

$$\Delta h_{нап} = \xi \frac{W_T^2}{2g} \rho_{ср}, \quad \text{где } \xi \text{ из Б-8} \\ W_T \text{ из Б-4 } g \text{ из Т7 Пр} \\ \rho_{ср} \text{ из Б-2 БС-Δ_к}$$

БС - Δh_m

Расчет местных сопротивлений



Приложение к БС-Δh_m

Б-1. Плотность дымовых газов при температуре t_{yx} :

$$\rho_{yx} = \rho_0 \frac{273}{273 + t_{yx}},$$

где ρ_0 из Б-32 БС-ЛГ
 t_{yx} из Б-0 БС-ТР или Б-8,9 БС-ТР .

Б-2. Скорость дымовых газов в дымовой трубе:

$$w_g = \frac{B \cdot G_i}{3600 \cdot 4 \cdot f_{gt} \cdot \rho_{yx}},$$

где B из Б-5 БС-В
 G_i из Б-19 БС-ЛГ
 f_{gt} из Т4 Пр
 ρ_{yx} из Б-1 .

Б-3. Сопротивление входа в газоотводящий канал:

$$\Delta h_{bx} = \xi_{bx} \frac{w_g^2}{2g} \rho_{yx},$$

где ξ_{bx} из Т7 Пр
 w_g из Б-2
 g из Т7 Пр
 ρ_{yx} из Б-1

Б-4. Коэффициент сопротивления для поворотов:

$$\xi_{pov} = k_a \xi_b B C, \text{ где } k_a, \xi_b, B, C \text{ из Т7 Пр .}$$

Б-5. Сопротивление поворотов газохода:

$$\Delta h_{pov} = \xi_{pov} \frac{w_g^2}{2g} \rho_{yx},$$

где ξ_{pov} из Б-4, g из Т7 Пр
 w_g из Б-2
 ρ_{yx} из Б-1 .

Б-6. Сопротивление выхода из дымовой трубы:

$$\Delta h_{byx} = \xi_{byx} \frac{w_g^2}{2g} \rho_{yx},$$

где ξ_{byx} из Т7 Пр
 w_g из Б-2
 ρ_{yx} из Б-1 .

Б-7. Местные сопротивления:

$$\Delta h_m = \Delta h_{\delta x} + \Delta h_{\text{поб}} + \Delta h_{\text{вых}},$$

где $\Delta h_{\delta x}$ из Б-3

$\Delta h_{\text{поб}}$ из Б-5

$\Delta h_{\text{вых}}$ из Б-6.

Б-8. Разряжение, создаваемое дымовым каналом:

$$S = \frac{H \left(\frac{1}{273 + t_n} - \frac{1}{273 + t_{yx}} \right)^8}{2,15},$$

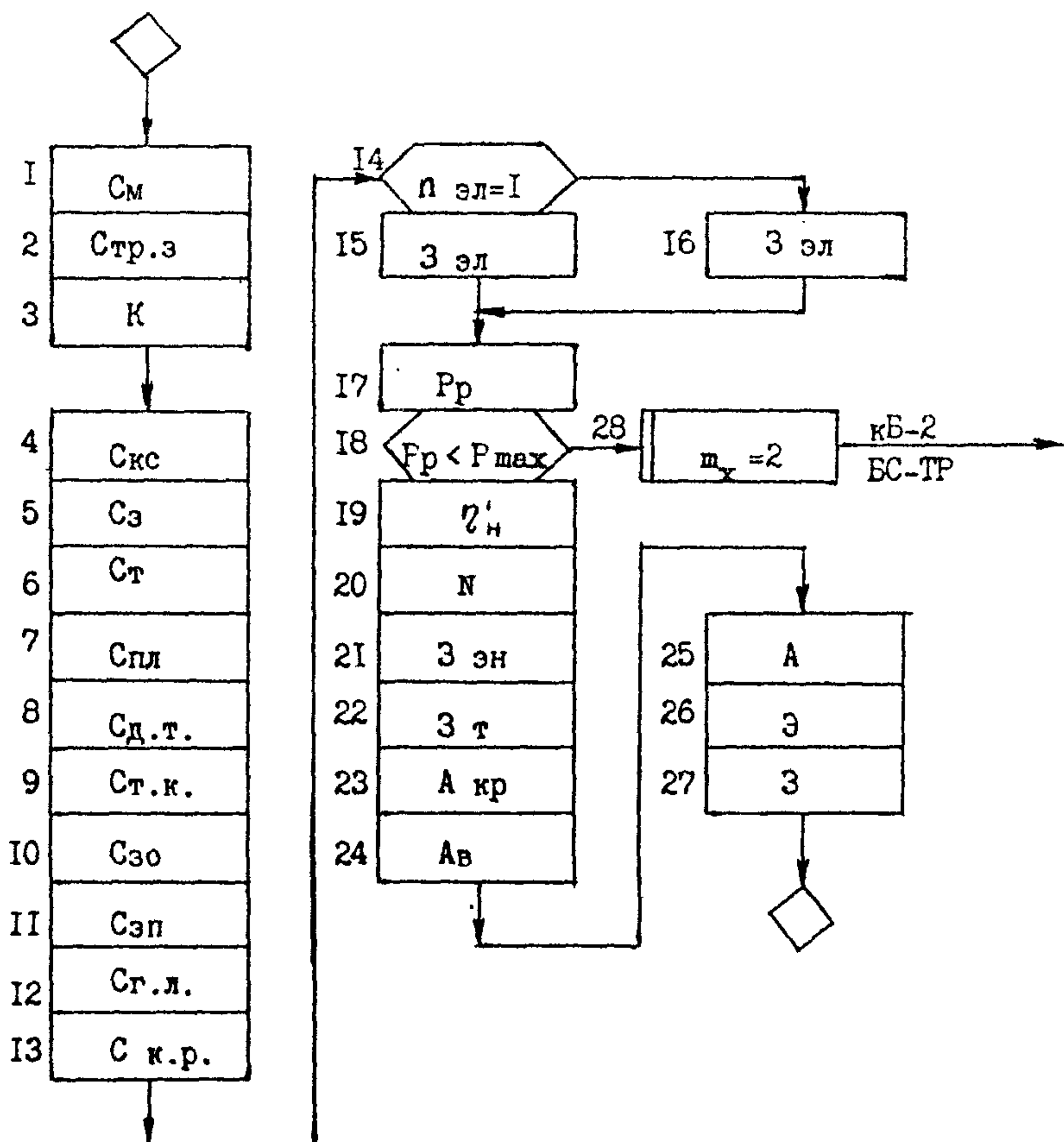
где H из Т4 Пр

t_n из Т2 Пр

t_{yx} из Б-0 ЕС-ТР или Б-8,9 ЕС-ТР

δ из Т7 Пр.

БС -ЭР
ЭКОНОМИЧЕСКИЙ РАСЧЕТ ПЕЧИ



Приложение к БС-ЭР

Б-1. Стоимость строительно-монтажных работ:

$$C_m = \Pi_{o.p.} \cdot K_{c.m.},$$

где $\Pi_{o.p.}$, $K_{c.m.}$ из ТII Пр.

Б-2. Стоимость транспортно-заготовительных работ:

$$C_{tr.z.} = \Pi_{o.p.} \cdot K_{tr.z.},$$

где $\Pi_{o.p.}$, $K_{tr.z.}$ из ТII Пр.

Б-3. Стоимость капитальных затрат:

$$K = \Pi_{o.p.} + C_m + C_{tr.z.},$$

где $\Pi_{o.p.}$ из ТII Пр.

C_m из Б-1

$C_{tr.z.}$ из Б-2

Б-4. Стоимость ремонта камеры сгорания:

$$C_{k.s.} = C_d^1 + C_m^1 + \Pi_{k.s.},$$

где C_d^1 , C_m^1 , $\Pi_{k.s.}$ из ТII Пр.

Б-5. Стоимость ремонта задвижек:

$$C_z. = C_d^2 + C_m^2 + \Pi_z.$$

где C_d^2 , C_m^2 , $\Pi_z.$ из ТII Пр.

Б-6. Стоимость ремонта трубопроводов:

$$C_t = C_d^3 + C_m^3 + \Pi_t,$$

где C_d^3 , C_m^3 , Π_t из ТII Пр.

Б-7. Стоимость ремонта площадки обслуживания:

$$C_{pl.} = C_d^4 + C_m^4 + \Pi_{pl.},$$

где C_d^4 , C_m^4 , $\Pi_{pl.}$ из ТII Пр

Б-8. Стоимость ремонта дымогарных труб:

$$C_{д.т.} = C_{д}^5 + C_{м}^5 + \Pi_{д.т.},$$

где $C_{д}^5$, $C_{м}^5$, $\Pi_{д.т.}$ из ТII Пр.

Б-9. Стоимость ремонта теплообменной камеры:

$$C_{т.к.} = C_{д}^6 + C_{м}^6 + \Pi_{т.к.},$$

где $C_{д}^6$, $C_{м}^6$, $\Pi_{т.к.}$ из ТII Пр.

Б-10. Стоимость ремонта змеевиков отопления:

$$C_{з.о.} = C_{д}^7 + C_{м}^7 + \Pi_{з.о.},$$

где $C_{д}^7$, $C_{м}^7$, $\Pi_{з.о.}$ из ТII Пр.

Б-11. Стоимость ремонта змеевиков паротушения:

$$C_{з.п.} = C_{д}^8 + C_{м}^8 + \Pi_{з.п.},$$

где $C_{д}^8$, $C_{м}^8$, $\Pi_{з.п.}$ из ТII Пр.

Б-12. Стоимость ремонта газовой линии:

$$C_{г.л.} = C_{д}^9 + C_{м}^9 + \Pi_{г.л.},$$

где $C_{д}^9$, $C_{м}^9$, $\Pi_{г.л.}$ из ТII Пр.

Б-13. Стоимость капитального ремонта печи:

$$C_{к.р.} = C_{об.} + C_{об.} \cdot K_{н} + C_{об} \cdot K_{пл.},$$

где $C_{об.} = C_{к.с.} + C_{з.} + C_{т.} + C_{пл.} + C_{д.т.} + C_{т.к.} + C_{з.о.} + C_{з.п.} + C_{г.л.},$

где $C_{к.с.}$ из Б-4

$C_{з}$ из Б-5

$C_{т}$ из Б-6

$C_{з.о.}$ из Б-10

$C_{г.л.}$ из Б-12

$C_{пл.}$ из Б-7

$C_{д.т.}$ из Б-8

$C_{т.к.}$ из Б-9

$K_{н}$, $K_{пл.}$ из ТII Пр.

Б-14. Проверка $\eta_{эл.} = I$

где I из Т4 И.Д.

Б-15. Затраты на электроэнергию для компрессоров (по схеме ГДР):

$$Z_{эл.} = P_{э.д.}^2 \cdot Ц_{эл.} \cdot T,$$

где $P_{э.д.}^2$ из Т12 Пр

$Ц_{эл.}$ из Т II Пр

T из Т 4 И.Д.

Б-16. Затраты на электроэнергию для компрессоров (по схеме СССР):

$$Z_{эл.} = 2 \cdot P_{э.д.}' \cdot Ц_{эл.} \cdot T \cdot K_{эл.},$$

где $P_{э.д.}'$ из Т12 Пр

$Ц_{эл.}$ из Т II Пр

T, K из Т 4 И.Д.

Б-17. Расчетное давление, необходимое для прокачки эмульсии:

$$P_p = P_0 + \Delta P,$$

где P_0 из Т 4 И.Д.

ΔP из Б-8 БС-ГР

Б-18. Проверка $P_p < P_{max}$,

где P_p из Б-17

P_{max} из Т 4 И.Д.

Б-19. Коэффициент полезного действия насоса при перекачке эмульсии:

$$\eta'_n = \frac{\eta_n}{1 + 0,4 (\frac{V}{\eta_n} - 1,006 \cdot 10^{-6}) \cdot 10^4},$$

(формула Шищенко)

где η_n из Т12 Пр

$\frac{V}{\eta_n}$ из Т 3 И.Д.

Б-20. Мощность насоса:

$$\eta'_H = \frac{\eta_H}{1 + 0,4 (\gamma_g - 1,006 \cdot 10^{-6}) \cdot 10^4}$$

где γ_g из Т 2 И.Д.

P_p из Б-17

η'_H из Б-19

Б-21. Затраты на электроэнергию для насосов:

$$Z_{\text{ен.}} = N \cdot \eta_{\text{эл.}} \cdot T \cdot n_p,$$

где N из Б-20

$\eta_{\text{эл.}}$ из Т II Пр

T, n_p из Т 4 И.Д.

Б-22. Затраты на топливо:

$$Z_T = V \cdot \eta_T \cdot T / f_o,$$

где V из Б-5 БС-В

η_T из Т II Пр

T из Т 4 И.Д.

f_o из Б-32 БС-ПГ

Б-23. Амортизационные отчисления на капитальный ремонт печи:

$$A_{\text{k.p.}} = K \cdot Q_{\text{k.p.}}$$

где K из Б-3

$\cdot Q_{\text{k.p.}}$ из Т II Пр

Б-24. Амортизационные отчисления на полное восстановление печи:

$$A_B = K \cdot Q_B,$$

где K из Б-3

Q_B из Т II Пр

Б-25. Годовые затраты на капитальный ремонт с учетом межремонтного пробега печи:

$$\lambda = \frac{C_{\text{k.p.}}}{m_{\text{мп}}} \cdot t$$

где $C_{\text{k.p.}}$ из Б-13

$m_{\text{мп}}$ из Т IЗ Пр

Б-26. Годовые эксплуатационные затраты:

$$\mathcal{E} = Z_{\text{эл.}} + Z_{\text{э.н.}} + Z_T + A_{\text{к.р.}} + A_B + A,$$

где $Z_{\text{эл}}$ из Б-14

$Z_{\text{э.н.}}$ из Б-21

Z_T из Б-22

$A_{\text{к.р.}}$ из Б-23

A_B из Б-24

A из Б-25

Б-27. Годовые приведенные затраты:

$$Z = \mathcal{E} + 0,15 \cdot K,$$

где \mathcal{E} из Б-26

0,15 из Т II Пр

K из Б-3

Б-28. Принять $m_x = 2$ и в Б-2 БС-ТР.

Таблица I Пр
 Физические параметры индивидуальных компонентов
 газообразного топлива

Компоненты	M _i	Q _{Pi} ^н	m _i	n _i	S _i	P _i	g _i
CH ₄	16,04	11953	I	4	-	-	-
C ₂ H ₆	30,07	11349	2	6	-	-	-
C ₃ H ₈	44,10	11079	3	8	-	-	-
C ₄ H ₁₀	58,12	10929	4	10	-	-	-
ΣC ₅ H ₁₂	72,15	10840	5	12	-	-	-
C ₆ H ₁₄	86,17	10790	6	14	-	-	-
N ₂	28,02	-	-	-	2	-	-
CO ₂	44,01	-	I	-	-	-	2
H ₂ S	34,08	3577	-	2	-	I	-
O ₂	32,00	-	-	-	-	-	2
CO	28,01	2415	I	-	-	-	I
H ₂	2,02	28667	-	2	-	-	-

Таблица 2 Пр
Теплофизические свойства воздуха
и водяных паров

Темпера- тура, t	Истинная теплоем- кость воздуха, C_p^{δ}	Истинная теплоем- кость водяных па- ров, $C_p^{\delta_p}$	Коэффици- ент тепло- вой провод- ности, $\lambda \cdot 10^4$	Средняя теп- лопровод- ность духа, $C_p^{\delta_m}$	Кинематическая вязкость возду- ха, $\nu \cdot 10^6$
$^{\circ}\text{C}$	$\frac{\text{ккал}}{\text{кг.гр}}$	$\frac{\text{ккал}}{\text{кг.гр}}$	$\frac{\text{ккал}}{\text{м} \cdot \text{ч} \cdot \text{гр}}$	$\frac{\text{ккал}}{\text{кг.гр}}$	$\frac{\text{м}^2}{\text{с}}$
0	0,2397	0,4441	214	0,2397	13,2
100	0,2413	0,4515	274	0,2405	23,2
200	0,2447	0,4635	329	0,2413	34,8
300	0,2495	0,4778	383		48,2
400	0,2552	0,4931	434	0,2447	62,9
500	0,2609	0,5092	484		79,3
600	0,2663	0,5258	532	0,2495	96,7
700	0,2712	0,5429	578		115
800	0,2766	0,5601	622	0,2552	135
900	0,2795	0,5769	664		155
1000	0,2829	0,5929	705	0,2609	177
1200	0,2886	0,6220	781	0,2663	223
1400	0,2930	0,6470		0,2712	273
1600	0,2966	0,6683		0,2756	327
1800	0,2996	0,6865		0,2795	384
2000	0,3022	0,7017		0,2829	448

Таблица 3 Пр
Теплофизические свойства дымовых газов

Температура, t $^{\circ}\text{C}$	$\Delta C_P^{cr} \cdot 10^4$ ккал кг.гр	$\lambda_T \cdot 10^4$ ккал м.ч.гр	Коэффициент теп- лопроводности ды- мовых газов,	Коэффициент або- лютной вязкости дымовых газов,
			$\lambda_T \cdot 10^4$ ккал м.ч.гр	$\zeta_T \cdot 10^6$ кг м.с
0	0			
100	3			20,33
200	21	345		24,43
300	32	416		23,22
400	43	490		31,67
500	50	564		34,84
600	56	638		37,65
700	64	701		40,67
800	70	787		43,36
900	74	861		45,88
1000	78	937		48,33
1200	84	1085		52,96
1400	96	1235		57,46
1600	87	1385		61,86
1800	86	1535		66,06
2000	83	1685		70,02

Таблица 4 Пр.

Конструктивные параметры теплообменной камеры печи

№	Буквенное обозначение	Размерность	Принимаемое значение	Наименование
1.	d	м	0,159	наружный диаметр теплообменных труб
2.	$d_{\delta H}$	м	0,143	внутренний диаметр теплообменных труб
3.	\varnothing	м	0,197	диаметр теплообменных труб с оребрением
4.	δ_t	м	0,008	толщина стенки трубы
5.	$h_{\rho \delta}$	м	0,019	высота ребра
6.	$S_{\rho \delta}$	м	0,006	шаг оребрения
7.	$\delta_{\rho \delta}$	м	0,0015	толщина ребра
8.	$F_{\text{гл}}$	m^2	143,6	поверхность гладких труб
9.	$F_{\text{тр}}$	m^2	112,	поверхность труб свободная от ребер
10.	$F_{\delta H}$	m^2	137,4	внутренняя поверхность труб
11.	F_p	m^2	1254	суммарная поверхность ребер
12.	F_n	m^2	1366	полная поверхность оребренных труб
13.	\bar{F}_v	m^2	3,97	свободное сечение верхних 3-х рядов трубного экрана
14.	\bar{F}_n	m^2	11,36	свободное сечение нижних 5-ти рядов трубного экрана
15.	H_s	m^2	13,9	поверхность теплообмена верхних 5-ти рядов труб
16.	H_n	m^2	23,2	поверхность теплообмена нижних 5-ти рядов труб
17.	$F_{\text{ст}}$	m^2	100,4	поверхность воспринимающего экрана
18.	V_r	m^3	29,5	объем теплообменной камеры
19.	H_L	m^2	42	лучевоспринимающая поверхность экрана теплообменных труб

	1	2	3	4	5	6					
20.	H_s	m^2	44				эквивалентная абсолютно-черная поверхность				
21.	l	m	9,0				длина теплообменной трубы без калаца				
22.	z_2	-	2				число рядов труб в одном пучке				
23.	l_x	m	I				длина прохождения дымовыми газами трубного экрана				
24.	F	m^2	I,I				проходное сечение для дымовых газов между экраном теплообменных труб и обечайкой				
25.	d_g	m^2	0,814				эквивалентный диаметр				
26.	$f_{d.t.}$	m^2	0,502				площадь живого сечения дымового канала				
27.	H	m	6				высота дымовой трубы				

Таблица 5 Пр

Конструктивные параметры камеры сгорания
печи

№п/п	Обозначение	Размерность	Значение	Наименование	Причина
1	D_b	м	0,54	внутренний диаметр камеры сгорания по среднему сечению	
2	$\delta_{k.c.}$	м	0,005	толщина стенки камеры сгорания	
3	$F_{k.c.}$	m^2	2,3	поверхность стен камеры сгорания	
4	$V_{k.c.}$	m^3	0,237	объем камеры сгорания	
5	F	m^2	1,836	теплопередающая поверхность камеры сгорания	
6.	f_{bx}	m^2	0,03	входное сечение воздуховода	
7.	f_{byx}	m^2	0,0832	выходное сечение воздуховода	
8.	d_{ebx}	м	0,15	эквивалентный диаметр входного сечения воздуховода	
9.	d_{ebyx}	м	0,1	эквивалентный диаметр выходного сечения воздуховода	
10.	n_k	шт.	4.	число камер сгорания в печи	

Таблица 6 Пр

Абсолютное влагосодержание 1 кг атмосферного воздуха
в зависимости от температуры окружающей среды

t_n	-20	-10	0	10	20	30	40
δ_s	0,00063	0,00159	0,0038	0,0077	0,0147	0,0272	0,049

Таблица 7 Пр
Коэффициенты, поправки и прочие величины

№ п/п	Обозна- чение	Размер- ность	Значе- ние	Наименование	Приме- чание
1	2	3	4	5	6
1	$\Psi_{\text{рз}}$	-	0,85	коэффициент, учитывающий неравномерную теплоотдачу по поверхности ребра, для ребер с цилиндрическим основанием	
2	Ψ_{κ}	-	0,9	коэффициент, учитывающий полноту участия экрана в конвективном теплообмене	
3	α_3	-	0,8	степень черноты загрязненных стекол лучевоспринимающих поверхностей	
4	Ψ_3	-	I	коэффициент, учитывающий геометрическое расположение труб	
5	Ψ	-	I,2	коэффициент, зависящий от отношения $\frac{H_{\Phi}}{H_S}$, при $\frac{H_{\Phi}}{H_S} = 0 \quad \Psi = I,2$	
6	μ	-	I	коэффициент, зависящий от формы ребер (влияние уширения ребер к основанию)	
7	$\delta \frac{M^2 \cdot \tau}{\text{ккал}}$	гр.	0,005	коэффициент загрязнения ребер для газового топлива	
8	C_t	-	I	поправка на температуру нагреваемой среды	
9.	C_e	-	I	поправка на относительную длину труб. При $\frac{\ell}{d} = \frac{9}{0,159} = 57$ $C_e = I$	
10	C_s	-	4,96	коэффициент лучиспускания абсолютно черной поверхности	
11	C_z	-	0,88	поправка на число рядов, поперечное направление газов при $C_z = 2$	

1	2	3	4	5	6
12.	P	без разм.	0,54	индекс противоточности	
13.	P_0	$\text{кг}/\text{см}^2$	1,05	давление в печи	
14.	$\lambda_{ст}$	$\frac{\text{ккал}}{\text{м} \cdot \text{ч} \cdot \text{гр}}$	30	теплопроводность стенки камеры сгорания	
15.	λ_M	-"	40	теплопроводность стенки теплообменной трубы	
16.	α	-	1,3	коэффициент избытка воздуха	
17.	$q_{пот}$	-	0,05	потери тепла в окружающую среду	
18.	η_T	-	0,96	коэффициент полезного действия топки	
19.	n	-	2,5	коэффициент рециркуляции дымовых газов	
20.	w^P	%	0	влажность топлива	
21.	Ψ_e	-	60	коэффициент, зависящий от вида соединения труб	
22.	g	$\text{м}/\text{сек}^2$	9,81	ускорение свободного падения	
23.	K	м	$0,2 \cdot 10^{-3}$	абсолютная шероховатость стенки	
24.	ξ_{bx}	-	0,5	к-т местного сопротивления	
25.	K_d	-	I	к-т, учитывающий шероховатость стенок	
26.	ξ_0	-	I,2	к-т сопротивления поворотов	
27.	B	-	I	к-т	
28.	C	-	I	к-т	
29.	$\xi_{вых}$	-	I,I	к-т сопрот. выхода	
30.	b мм рт. ст.		760	барометрическое давление	

Таблица 8 П₂Поправочный коэффициент ξ_2 $P_{H_2O} = 0,05$, где P_{H_2O} из Б-33 ВС-ЛГ

t °C	200	300	400	500	600	700	800	900	1000	1100	1200	1400	1600	1800	2000															
ξ_2	0,95	0,944	0,938	0,935	0,926	0,92	0,914	0,908	0,902	0,896	0,89	0,884	0,878	0,872	0,866															
I	I	2	I	3	I	4	I	5	I	6	I	7	I	8	I	9	I	10	I	II	I	I2	I	I3	I	I4	I	I5	I	I6

 $P_{H_2O} = 0,07$ ξ_2 0,966 0,962 0,958 0,954 0,95 0,946 0,943 0,939 0,935 0,93 0,926 0,922 0,918 0,914 0,91 $P_{H_2O} = 0,09$ ξ_2 0,982 0,98 0,979 0,977 0,975 0,973 0,971 0,969 0,967 0,965 0,963 0,961 0,959 0,957 0,955 0,955 $P_{H_2O} = 0,11$ ξ_2 I $P_{H_2O} = 0,13$ ξ_2 1,013 1,014 1,016 1,017 1,019 0,021 1,023 1,025 1,026 1,027 1,028 1,029 1,03 1,031 1,032 $P_{H_2O} = 0,15$ ξ_2 1,018 1,022 1,026 1,03 1,034 1,038 1,042 1,046 1,05 1,054 1,058 1,062 1,066 1,07 1,074 $P_{H_2O} = 0,17$ ξ_2 1,025 1,031 1,037 1,043 1,049 1,055 1,061 1,067 1,073 1,079 1,085 1,091 1,097 1,103 1,109

Таблица 9 Пр

Поправочный коэффициент ζ_2 $P_{H_2O} = 0,05$, где P_{H_2O} из Б-33 ВС-ПГ

$t^{\circ}\text{C}$	100	200	300	400	500	600	700	800	900	1000	1100	1200	1400	1600	1800	2000	
ζ_2	1,04	1,033	1,028	1,025	1,022	1,02	1,018	1,017	1,016	1,016	1,016	1,016	1,016	1,016	1,016	1,016	
I	1	2	3	4	5	6	7	8	9	10	II	12	13	14	15	16	17

 $P_{H_2O} = 0,07$ ζ_2 1,026 1,021 1,018 1,015 1,013 1,012 1,011 1,010 1,01 1,01 1,01 1,01 1,01 1,01 1,01 1,01 1,01 $P_{H_2O} = 0,09$ ζ_2 1,014 1,011 1,009 1,008 1,007 1,006 1,005 1,005 1,005 1,005 1,005 1,005 1,005 1,005 1,005 1,005 1,005 $P_{H_2O} = 0,11$ ζ_2 I,0 I I I I I I I I I I I I I I I I $P_{H_2O} = 0,13$ ζ_2 0,991 0,994 0,995 0,996 0,997 0,997 0,997 0,997 0,997 0,997 0,997 0,997 0,997 0,997 0,997 0,997 0,997 $P_{H_2O} = 0,15$ ζ_2 0,982 0,987 0,99 0,992 0,993 0,994 0,994 0,994 0,994 0,994 0,994 0,994 0,994 0,994 0,994 0,994 0,994 $P_{H_2O} = 0,17$ ζ_2 0,974 0,981 0,986 0,988 0,99 0,991 0,991 ,991 0,991 0,991 0,991 0,991 0,991 0,991 0,991 0,991 0,991 $P_{H_2} = 0,19$

I		2		3		4		5		6		7		8		9		10	% II		12		13		14		15		16		17
---	--	---	--	---	--	---	--	---	--	---	--	---	--	---	--	---	--	----	------	--	----	--	----	--	----	--	----	--	----	--	----

$$P_{H_2O} = 0,19$$

\bar{x}_2 0,965 0,974 0,981 0,985 0,987 0,988

$$P_{H_2O} = 0,21$$

\bar{x}_2 0,956 0,967 0,967 0,982 0,985 0,986

$$P_{H_2O} = 0,23$$

\bar{x}_2 0,946 0,96 0,971 0,977 0,982 0,983 0,984 0,984 0,984 0,984 0,984 0,984 0,984 0,984 0,984 0,984 0,984 0,984 0,984 0,984 0,984 0,984 0,984 0,984

$$P_{H_2O} = 0,25$$

\bar{x}_2 0,936 0,952 0,965 0,972 0,977 0,987 0,981 0,981 0,981 0,981 0,981 0,981 0,981 0,981 0,981 0,981 0,981 0,981 0,981 0,981 0,981 0,981 0,981 0,981

Таблица 10 Пр

$h_{p6} \cdot \beta$	1	0	1	0,1	1	0,2	1	0,3	1	0,4	10,5	10,6	10,7	10,8	10,9	1	1	1	1,1	1,2	1,3	1,4	1,5	1	1,6	1,7										
E		1		0,99		0,98		0,97		0,95		0,93		0,91		0,88		0,84		0,79		0,75		0,7		0,68		0,63		0,6		0,58		0,55		0,53

Таблица II
Стоимостные величины по печи ПТБ-10

№ п/п	Обозна- чение	Размер- ность	Значе- ние	Наименование	Приме- чание
1	2	3	4	5	6
I.	$C_{оп}$	руб.	50000	Оптовая цена печи	
2.	C_d^1	руб.	48,8	Стоимость демонтажа камеры сгорания	
3.	C_m^1	руб.	97,6	Стоимость монтажа камеры сгорания	
4.	$C_{k.s.}$	руб.	562,0	Стоимость камеры сгорания	
5.	C_d^2	руб.	22,8	Стоимость демонтажа задвижек	
6.	C_m^2	руб.	45,6	Стоимость монтажа задвижек	
7.	C_z	руб.	725,0	Стоимость задвижек	
8.	C_d^3	руб.	36,2	Стоимость демонтажа трубопроводов	
9.	C_m^3	руб.	72,3	Стоимость монтажа трубопроводов	
10.	C_t	руб.	147,0	Стоимость трубопроводов	
II.	C_d^4	руб.	155,5	Стоимость демонтажа площадки обслужив.	
12.	C_m^4	руб.	130,5	Стоимость монтажа площадки обслужив.	
13.	$C_{пл.}$	руб.	1150,0	Стоимость площадки обслуживания	
14.	C_d^5	руб.	87,6	Стоимость демонтажа дымогарных труб	
15.	C_m^5	руб.	175,2	Стоимость монтажа дымогарных труб	
16.	$C_{д.т.}$	руб.	415,5	Стоимость дымогарных труб	
17.	C_d^6	руб.	214,2	Стоимость демонтажа теплообменной камеры	
18.	C_m^6	руб.	428,4	Стоимость монтажа теплообменной камеры	
19.	$C_{т.к.}$	руб.	28000	Стоимость теплообменной камеры	

1	2	3	4	5	6
20.	C_d^7	руб.	15,2	Стоимость демонтажа змеевиков отопления	
21.	C_m^7	руб.	30,4	Стоимость монтажа змеевиков отопления	
22.	$C_{з.о.}^8$	руб.	64,2	Стоимость змеевиков отопления	
23.	C_d^8	руб.	21,6	Стоимость демонтажа змеевиков паротушения	
24.	C_m^8	руб.	43,2	Стоимость монтажа змеевиков паротушения	
25.	$C_{з.п.}^9$	руб.	63,2	Стоимость змеевиков паротушения	
26.	C_d^9	руб.	15,2	Стоимость демонтажа газовой линии	
27.	C_m^9	руб.	30,4	Стоимость монтажа газовой линии	
28.	$C_{Г.л.}$	руб.	64,8	Стоимость газовой линии	
29.	$C_{эл.}$	руб.	0,01	Стоимость 1 кВт.ч эл. энергии	
30.	C_p	руб.	0,026	Стоимость 1 м ³ топлива (газа)	
31.	$\alpha_{к.р.}$	-	0,068	Норма амортизации на кап.ремонт	
32.	α_v	-	0,12	Норма амортизации на полное восстановление	
33.	$K_{с.м.}$	-	0,49	Процент строймонтажных работ	
34.	$K_{рт.з.}$	-	0,07	Процент транспортно-заготовительных работ	
35.	K_H	-	0,17	Процент накладных расходов	
36.	$K_{пл.}$	-	0,06	Процент плановых накоплений	
37.	T_b	лет	10	Нормативный срок службы печи	
38.	E_n	-	0,15	Нормативный коэффициент	

Таблица I2

Показатели по мощности

№п/п	Обозначение	Размерность	Значение	Наименование	Примечание
1.	$P_{э.д.}^1$	кВт	55	Мощность электродвигателя для компрессора (по схеме СССР)	
2.	$P_{э.д.}^2$	кВт	110	Мощность электродвигателя для компрессора (по схеме ГДР)	
3.	η_n	кВт	0,8	К.П.Д. насоса при перекачке воды	

Таблица I3

Зависимость межремонтного пробега печи от склонности пластовых вод в эмульсии к отложению осадков

Тип пластовых вод	Число потоков			t_x
	1	2	4	
Воды не склонные к образованию отложений $\Pi_{OT} = 0$	8	4	2	
склонные $\Pi_{OT} = 1$	2	1	0,5 и меньше	

ПРИЛОЖЕНИЕ 2
Контрольный пример

ИСХОДНЫЕ ДАННЫЕ

Таблица № 1 И.Д.

доли	компом.	CH_4	C_2H_6	C_3H_8	C_4H_{10}	C_5H_{12}	C_6H_{14}	N_2	CO_2	H_2	O_2	CO	H_2
% об.		58,5	14,3	12,6	7,5	4,7	0,6	1,3	0,5	0	0	0	0
% мас.		0	0	0	0	0	0	0	0	0	0	0	0

Таблица № 2 И.Д.

№ п/п	Обозна- чение	Наименование	размер- ность	Принимаемые значения варианты			
				1	2	3	4
1	G_e	Расход эмульсии	кг/ч	375000			
2	$T_{\text{вх}}$	Температура эмульсии на входе в печь	°С	24			
3	$t_{\text{вых}}$	Температура эмульсии на выходе из печи	°С	47			
4	t_n	Температура окружающего воздуха	°С	12			
5	O_e	Обводненность эмульсии	доли ед.	0,55			
6	δt	Изменение температуры уходящих дымовых газов	°С	10			

Таблица № 3 И.Д.

№ п/п	обозна- чение	Наименование	размер- ность	Принимаемые значения варианты			
				1	2	3	4
1	ρ_b	плотность пластовой воды	кг/м ³	1048			
2	ρ_n	плотность нефти	-"	858			
3	C_{pb}	теплоемкость пластовой воды	кал кг.гр	0,95			
4	C_{pn}	теплоемкость нефти	-"	0,47			
5	λ_b	теплопроводность пластовой воды	кал м.т.гр	0,48			
6	λ_n	теплопроводность нефти	-"	0,132			
7	η_e	Вязкость кинематическая эмульсии	m^2/s $\cdot 10^{-6}$	291,8			

I	!	2	!	3	!	4	!	5	!	6	!	7	!	8
8.		ρ_n^{20}	плотность нефти при $t = 20^{\circ}\text{C}$			$\text{кг}/\text{м}^3$		864						
9.		t_1	температура			$^{\circ}\text{C}$		20						
10.		t_2	температура			$^{\circ}\text{C}$		50						
II.		η_1	вязкость нефти при t_1			сст		34,7						
12.		η_2	вязкость нефти при t_2			сст		31,5						
13.		d_n^{15}	относит. плотность нефти при 15°C			-		0,868						

Таблица № 4 И.Д.

№ п/п	обозна- чение	Наименование	размер- ность	Принимаемые значения варианты			
				1	2	3	4
1.	Δ	Абсолютная шероховатость теплообменных труб	м	0,0002			
2.	φ	Относительная влажность воздуха	-	0,7			
3.	T	Фактическое время работы печи в году	час	8000			
4.	P	Максимально-развиваемое давление насосов	$\text{кг}/\text{м}^2$	$17,1 \cdot 10^4$			
5.	P_o	Давление после печи	-"	$6,8 \cdot 10^{-4}$			
6.	n_m	Количество магнетатель- ных насосов перед печью	шт.	1			
7.	$n_{эл}$	Количество электродвига- телей (компрессоров)	шт.	2			
8.	$K_{эл}$	Коэффициент использования компрессоров в году		0,7			
9.	$P_{от}$	Признак склонности пласти- вых вод к отложению солей на поверхностях нагрева. При- нимаемые значения: не склонные - 0 склонные - 1		0			
10.	$\delta_{от}$	Толщина отложений на по- верхностях нагрева, м	м	0,001			
II.	$\lambda_{от}$	Коэффициент теплопроводнос- ти отложений	$\frac{\text{ккал}}{\text{м} \cdot \text{ч} \cdot \text{гр.}}$	0,5			
12.	θ	Количество газообразного топлива, $\text{кг}/\text{ч}$	$\text{кг}/\text{ч}$	1600			

РЕЗУЛЬТАТЫ РАСЧЕТА

ПЕЧИ ПРИ РАЗЛИЧНОМ ЧИСЛЕ РОТЕХОВ ВО ТРУБАХ

Название	СОСТОЯНИЕ РАСЧЕТА	Число ходов по трубам
РЕЗУЛЬТАТЫ РАСЧЕТА	ЧИСЛО НЕСТЬ	1 2 3 4 5 6 7 8 9 10 11 12 13 14 15 16 17 18 19 20 21 22 23 24 25 26 27 28 29 30 31 32 33 34 35 36 37 38 39 40 41 42 43 44 45 46 47 48 49 50 51 52 53 54 55 56 57 58 59 60 61 62 63 64 65 66 67 68 69 70 71 72 73 74 75 76 77 78 79 80 81 82 83 84 85 86 87 88 89 90 91 92 93 94 95 96 97 98 99 100
РАСХОД НАГРЕВАЕМОЙ ГАЗОСТИ	62	1.787E+03 379811 375782 375882
РАСХОД ТОГЛИВА НА ГОРЕНIE	8	1.92637E+03 1.914237E+03 1.847422E+03
МАКСИМАЛЬНАЯ ТЕМПЕРАТУРА ГОРЕНИЯ ТОГЛИВА	1.92637E+03	1.847493E+03 1.674932E+03
ТЕМПЕРАТУРА НАГРЕВА СТЕНКИ КАНАЛА	107	1.933E+03 6.738862E+02 6.793794E+02
ВЕРХ СГОРАНИЯ		
ТЕМПЕРАТУРА НАГРЕВА ВОЗДУХА В УДИКЕ КАМЕРЫ СГОРАНИЯ	70	1.963E+03 8.373938E+02 8.316521E+02 8.482829E+02
КОЭФФИЦИЕНТ КЛЕБИКА ВОЗДУХА	ALFA	1.933E+03 1.349996E+03 1.349996E+03 1.349996E+03
БИНЕРНАЯ СКОРОСТЬ ГАЗОСТИ В ТРУБАХ	40	1.932E+03 9.444762E+02 3.722371E+02 1.861165E+02
КОЭФФИЦИЕНТ ТЕПЛООТДАЧИ ОТ СТЕНОК ТРУБ ЭКСПЛУАТИ	2LF2	1.932E+03 1.4371352E+03 2.875836E+03 1.526041E+03
ТЕМПЕРАТУРА СТЕНКИ ТРУБ	TST	1.933E+03 6.01568EE+02 7.798717E+02 9.120916E+02
КАЛИЧЕСТВО ТЕПЛА, ПЕРЕДАННОЕ В ПЕЧИ	QP	1.933E+03 3.412887E+02 3.323624E+02 3.336356E+02
ТЕМПЕРАТУРА УХОДЯЩИХ ДИНОДУ	TTK	1.933E+03 5.182228E+02 5.180821E+02 5.280808E+02
ГАЗОВЫЕ ПОТЕРИ ДАВЛЕНИЯ В ТРУБАХ	DELTP	1.933E+03 2.026112E+03 2.055717E+03 2.050378E+03
РАЗРЯЖЕНИЕ, СОЗДАВАЕМОЕ ГИДРОВИ	S	1.933E+03 9.662251E+02 3.843251E+02 3.294409E+02
ВЗРОДИОДИУСКОЕ СОПРОТИВЛЕНИЕ СЕЧИ	HP	1.933E+03 6.058582E+02 5.947993E+02 5.384798E+02
РЕАБОРДЕ ПРИВЕДЕНИЕ ЗАТРАТЫ	ZAT	1.933E+03 1.0469321E+03 2.213269E+03

СОДЕРЖАНИЕ

I. Основная цель разработки руководящего документа	<u>3</u>
2. Методика расчета и оптимизации блочных трубчатых печей типа ПТБ	<u>5</u>
Приложение I. Алгоритм расчета и оптимизации блочных трубчатых печей ПТБ-10	<u>II</u>
Приложение 2. Контрольный пример	<u>90</u>

РУКОВОДЯЩИЙ ДОКУМЕНТ
МЕТОДИКА
РАСЧЕТА И ОПТИМИЗАЦИИ БЛОЧНЫХ ТРУБЧАТЫХ
ПЕЧЕЙ ТИПА ПТБ С ПОМОЩЬЮ ЭВМ
РД 39-0147103-317-86

450055, Уфа, просп.Октября,144/3

Подписано в печать 15.02.86 г. № 1223
Формат 60x90 1/16. Уч.-изд.л. 4,8. Тираж 160 экз.

Заказ 152

Ротапrint ВНИИСПТнефти